

МИНИСТЕРСТВО ОБРАЗОВАНИЯ РЕСПУБЛИКИ БЕЛАРУСЬ
БЕЛОРУССКИЙ ГОСУДАРСТВЕННЫЙ УНИВЕРСИТЕТ
ФАКУЛЬТЕТ ПРИКЛАДНОЙ МАТЕМАТИКИ И ИНФОРМАТИКИ
Кафедра дискретной математики и алгоритмики

ЗЯЗЮЛЬКИН Сергей Павлович

**ПОСТРОЕНИЕ БОЛЬШИХ НЕПЕРЕСЕКАЮЩИХСЯ
АЦИКЛИЧЕСКИХ ПОДГРАФОВ В ГЕОМЕТРИЧЕСКИХ
ГРАФАХ**

Магистерская диссертация

специальность 1-31 81 09 «Алгоритмы и системы обработки больших
объемов информации»

Научный руководитель
Сарванов Владимир Иванович
кандидат физико-математических наук

Допущена к защите

«___» _____ 2019 г.

Зав. кафедрой дискретной математики и алгоритмики

_____ В.М. Котов

доктор физико-математических наук, профессор

Минск, 2019

ОГЛАВЛЕНИЕ

ОГЛАВЛЕНИЕ	2
ВВЕДЕНИЕ	4
1 ОСНОВНЫЕ СВЕДЕНИЯ О ПРОБЛЕМЕ ПОСТРОЕНИЯ НЕПЕРЕСЕКАЮЩЕГОСЯ ОСТОВНОГО ДЕРЕВА В ГЕОМЕТРИЧЕСКОМ ГРАФЕ	5
1.1 Геометрические графы.....	5
1.2 Задача построения непересекающегося остовного дерева в геометрическом графе и ее трудоемкость	6
1.3 Параметризованные алгоритмы решения задачи построения непересекающегося остовного дерева в геометрическом графе	7
1.4 Полиномиально разрешимые случаи задачи построения непересекающегося остовного дерева в геометрическом графе	9
1.5 Достаточные условия существования непересекающегося остовного дерева в геометрическом графе.....	10
1.6 Достаточные условия отсутствия непересекающегося остовного дерева в геометрическом графе	11
1.7 Оптимизационная постановка задачи построения непересекающегося остовного дерева в геометрическом графе.....	12
2 ЗАДАЧА ПЕРЕСЕЧЕНИЯ ДВУХ МАТРОИДОВ.....	13
2.1 Матроиды	13
2.2 Постановка задачи.....	14
2.3 Алгоритм решения задачи	14
2.4 Особенности программной реализации	17
2.5 Применение для решения задачи построения большого непересекающегося ациклического подграфа в геометрическом графе	18
2.6 Применение для решения задачи построения большого непересекающегося ациклического подграфа с множеством зафиксированных ребер в геометрическом графе	20
3 ЗАДАЧА ПОСТРОЕНИЯ БОЛЬШОГО НЕПЕРЕСЕКАЮЩЕГОСЯ АЦИКЛИЧЕСКОГО ПОДГРАФА В ГЕОМЕТРИЧЕСКОМ ГРАФЕ	23

3.1 Специальные случаи задачи построения большого непересекающегося ациклического подграфа в геометрическом графе	23
3.2 Алгоритм частичного перебора с отсечениями для решения задачи построения непересекающегося остовного дерева в геометрическом графе	24
3.3 Трудоемкость алгоритма частичного перебора с отсечениями для решения задачи построения непересекающегося остовного дерева в геометрическом графе	27
3.4 Алгоритм частичного перебора с отсечениями для решения задачи построения наибольшего непересекающегося ациклического подграфа в геометрическом графе	28
3.5 Особенности программной реализации	30
3.6 Вычислительный эксперимент	32
4 ЗАДАЧА ПОСТРОЕНИЯ НЕПЕРЕСЕКАЮЩЕГОСЯ ОСТОВНОГО ДЕРЕВА В ВОГНУТОМ ГЕОМЕТРИЧЕСКОМ ГРАФЕ	35
4.1 Вогнутые геометрические графы	35
4.2 Описание решения задачи	36
4.3 Алгоритм решения задачи	38
ЗАКЛЮЧЕНИЕ	45
СПИСОК ИСПОЛЬЗОВАННЫХ ИСТОЧНИКОВ	46
ПРИЛОЖЕНИЕ А	47

ВВЕДЕНИЕ

Тематика диссертации относится к интенсивно развивающейся области исследований, находящейся «на стыке» теории графов и комбинаторной вычислительной геометрии. Задачи построения непересекающихся подграфов возникают, в частности, в автоматизации проектирования интегральных схем и в робототехнике. Кроме того, они имеют прямое отношение к задачам построения оптимальных по различным критериям плоских триангуляций, играющих ключевую роль в ряде прикладных областей.

Диссертационная работа направлена на исследование и разработку алгоритмов решения задач построения больших непересекающихся ациклических подграфов в геометрических графах. Основное внимание предполагается уделить непересекающемуся остовному дереву и наибольшему по числу ребер непересекающемуся ациклическому подграфу. Планируется разработка точных экспоненциальных алгоритмов частичного перебора с отсечениями для решения вышеупомянутых задач. Предполагается поиск новых классов геометрических графов, допускающих полиномиальные алгоритмы распознавания и построения непересекающегося остовного дерева в геометрическом графе. Разработанные алгоритмы будут программно реализованы.

1 ОСНОВНЫЕ СВЕДЕНИЯ О ПРОБЛЕМЕ ПОСТРОЕНИЯ НЕПЕРЕСЕКАЮЩЕГОСЯ ОСТОВНОГО ДЕРЕВА В ГЕОМЕТРИЧЕСКОМ ГРАФЕ

1.1 Геометрические графы

Геометрическим графом (рисунок 1) называется граф, уложенный на плоскости, у которого все ребра – отрезки. Напомним, что под укладкой графа на плоскости подразумевается такое взаимно-однозначное отображение φ его вершин в точки плоскости, а ребер в дуги (кривые, являющиеся гомеоморфными образами отрезка $[0,1]$), соединяющие эти точки, при котором:

1. никакая дуга не содержит образов вершин, отличных от ее конечных точек;
2. две смежные дуги содержат только одну общую конечную точку;
3. для любых двух несмежных дуг существует не более одной точки, в которой они пересекаются (такое пересечение дуг вне образов вершин называется *собственным*).

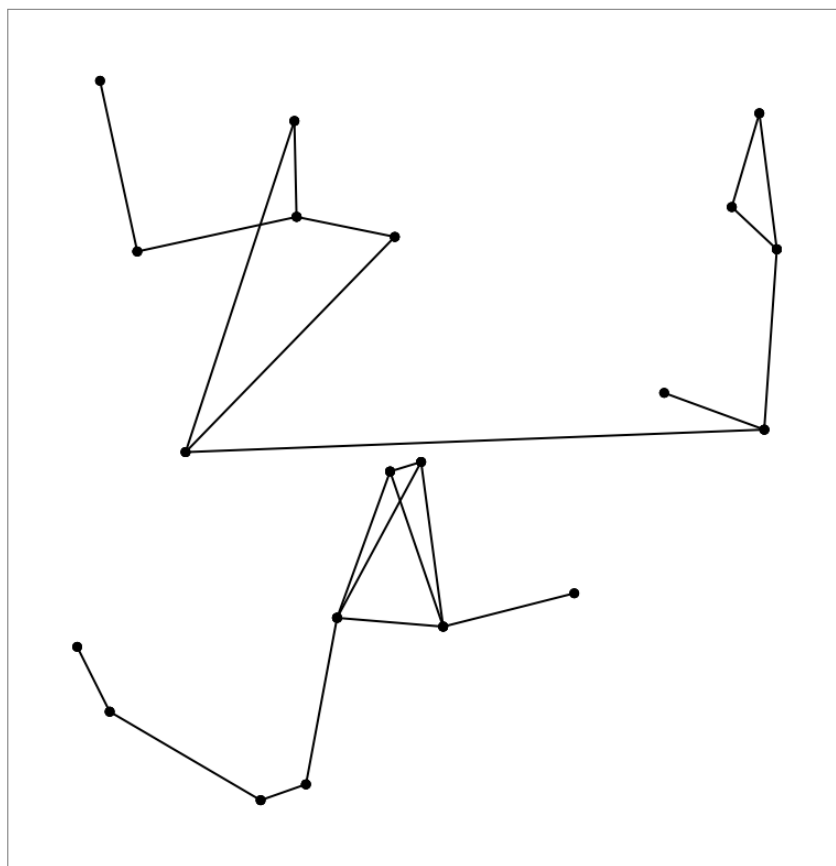


Рисунок 1 – Геометрический граф

Далее всюду будем называть образы вершин и ребер при отображении φ соответственно вершинами и ребрами соответствующего геометрического графа.

Индексом пересечения ребра геометрического графа назовем число собственных пересечений данного ребра. Наибольший индекс пересечения ребра среди всех ребер геометрического графа назовем *индексом пересечения геометрического графа*. Геометрический граф, индекс пересечения которого равен нулю, называется *непересекающимся*.

В дальнейшем будем рассматривать только геометрические графы, вершины которых находятся в *общем положении*, т.е. никакие три вершины графа не лежат на одной прямой.

Выпуклую оболочку множества вершин геометрического графа будем называть *выпуклой оболочкой* этого графа. Говорят, что вершины геометрического графа G находятся в *выпуклом положении*, если они лежат на выпуклой оболочке графа G . Такой геометрический граф G называют *выпуклым*. Геометрический граф, не являющийся выпуклым, соответственно называют *невыпуклым*. Вершины невыпуклого геометрического графа, лежащие внутри его выпуклой оболочки, называются *внутренними*.

Для краткости изложения непересекающееся остовное дерево будем обозначать через NST .

1.2 Задача построения непересекающегося остовного дерева в геометрическом графе и ее трудоемкость

Рассмотрим задачу распознавания NST в геометрическом графе:

Вход: геометрический граф G .

Вопрос: существует ли NST в графе G ?

В дальнейшем эту задачу будем называть *задачей распознавания NST* . Соответственно, задачу построения NST в геометрическом графе будем называть просто *задачей построения NST* . В работе [1] представлен следующий важный результат.

Теорема. Пусть G – геометрический граф, обладающий следующими свойствами: степень любой вершины не меньше трех, индекс пересечения графа не меньше двух. Задача распознавания NST в графе G является NP -полной.

Из приведенной теоремы следует, что задача построения NST является NP -трудной. Тем не менее, эти факты не исключают возможность разработки эффективных приближений NST с константным коэффициентом

аппроксимации. Имеется два естественных способа построения приближения NST .

Первый способ заключается в построении остовного дерева с минимальным числом пересечений. Обозначим минимальное число пересечений в NST геометрического графа G , увеличенное на единицу, через $\varphi(G)$. О сложности задачи приближения параметра $\varphi(G)$ говорит следующая теорема.

Теорема. Пусть G – геометрический граф, содержащий k пар пересекающихся ребер. Задача приближения параметра $\varphi(G)$ с коэффициентом аппроксимации $k^{1-\varepsilon}$ является NP -трудной для любого $\varepsilon > 0$.

Второй способ приближения NST заключается в построении непересекающегося остовного леса с минимальным числом компонент. Обозначим минимальное число компонент в непересекающемся остовном лесу геометрического графа G через $\psi(G)$. Как и в случае параметра $\varphi(G)$, эффективного приближения параметра $\psi(G)$ не существует при условии, что $P \neq NP$.

Теорема. Пусть G – геометрический граф, содержащий k пар пересекающихся ребер. Задача приближения параметра $\psi(G)$ с коэффициентом аппроксимации $k^{1-\varepsilon}$ является NP -трудной для любого $\varepsilon > 0$.

Таким образом, не только задача построения NST , но и задача построения эффективного приближения NST , является NP -трудной.

1.3 Параметризованные алгоритмы решения задачи построения непересекающегося остовного дерева в геометрическом графе

Одним из направлений разработки эффективных алгоритмов для NP -трудных задач является построение параметризованных алгоритмов. Ключевым моментом при разработке параметризованного алгоритма является выбор подходящего параметра.

Самым простым способом решения задачи построения непересекающегося подграфа специального вида в геометрическом графе является полный перебор всех подграфов заданного графа. Такой перебор может быть осуществлен за экспоненциальное от числа ребер в графе время. Однако, если число пересекающихся пар ребер значительно меньше общего числа ребер в графе и необходимое свойство (в данном случае, что подграф содержит остовное дерево) может быть проверено для непересекающегося подграфа за полиномиальное время, то существует более оптимальная, но все

еще наивная стратегия: перебрать все непересекающиеся подграфы, получаемые из исходного графа удалением одного из ребер для каждой пары пересекающихся ребер. Число перебираемых при использовании данного подхода подграфов не превосходит 2^k , где k – число пар пересекающихся ребер. Таким образом, используя наивный подход, задача построения NST для геометрического графа может быть решена за время $O^*(2^k)$, где O^* -нотация скрывает полиномиальный член.

Первое улучшение наивного подхода было предложено в 2005-ом году. В работе [2] развиты идеи наивного подхода, предложено решение задачи построения NST в геометрическом графе с трудоемкостью $O^*(1.9999996^k)$. Несмотря на то, что улучшение являлось незначительным, оно имело теоретический интерес и стимулировало дальнейшее развитие переборных алгоритмов для решения задачи построения NST .

В работе [3] была предложена идея сведения задачи построения NST в геометрическом графе G к задаче построения NST в геометрическом графе G' меньшего размера, при этом должно существовать биективное отображение между множествами NST графов G и G' . Такое сведение в дальнейшем будем называть *кернализацией*. Такой граф G' может быть получен из графа G последовательным стягиванием ребер с индексом пересечения, равным 0. Отметим, что стягивание непересекающихся ребер не нарушает общую структуру пересечений в графе. Легко заметить, что кернелизация может быть выполнена за полиномиальное (на самом деле, линейное) время. Для ряда графов кернелизация может существенно уменьшить размер задачи. Используя идею кернелизации и фиксируя порядок перебора ребер, может быть получен алгоритм решения задачи построения NST , имеющий время работы $O^*(1.9276^k)$ [3].

Теорема. Пусть G – геометрический граф, содержащий k пар пересекающихся ребер. За время $O^*(1.9276^k)$ можно построить NST в графе G , если оно существует.

Задача распознавания NST может быть решена за полиномиальное время для выпуклых геометрических графов. Этот факт создает предпосылки к созданию параметризованных алгоритмов, использующих в качестве параметра число внутренних вершин геометрического графа.

Теорема. Пусть G – геометрический граф на n вершинах. Задача распознавания NST в графе G может быть решена за время $O\left(2^{33\sqrt{k}\log k}k^2n^3 + n^3\right)$. В качестве параметра k выступает число внутренних вершин графа G .

Авторы теоремы отмечают, что соответствующий алгоритм трудно реализовать на практике. В связи с этим они предлагают более «практичный» алгоритм, асимптотика которого, однако, немного хуже.

Теорема. Пусть G – геометрический граф на n вершинах. Задача распознавания NST в графе G может быть решена за время $O(2^{7.5k} k^2 n^3 + n^3)$. В качестве параметра k выступает число внутренних вершин графа G .

Для решения задачи распознавания NST также применяется вероятностный подход. Так, в работе [2] представлен следующий результат.

Теорема. Пусть G – геометрический граф, содержащий k пар пересекающихся ребер. Существует вероятностный алгоритм типа Монте-Карло с односторонней ошибкой для решения задачи распознавания NST , имеющий вероятность успеха $p > 0$ и трудоемкость $O^*(1.968^k)$.

1.4 Полиномиально разрешимые случаи задачи построения непересекающегося остоного дерева в геометрическом графе

Одним из самых простых случаев геометрического графа, допускающего проверку наличия и построения NST за полиномиальное время, является непересекающийся геометрический граф. Любой подграф такого геометрического графа будет непересекающимся по определению. Поэтому для построения NST можно применить любой из алгоритмов построения обычного остоного дерева. Например, может быть использован обычный поиск в глубину или ширину.

Некоторые NP-трудные геометрические задачи на плоскости решаются за полиномиальное время для случая, когда точки находятся в выпуклом положении. Примером такой задачи является задача построения минимальной триангуляции множества точек на плоскости. Не исключением является и задача построения NST .

Теорема [3]. Пусть G – выпуклый геометрический граф на n вершинах. Задача построения NST в графе G может быть решена за время $O(n^3)$ с использованием метода динамического программирования.

Еще один полиномиально разрешимый случай задачи построения NST рассмотрен в диссертации [4].

Теорема. Пусть G такой геометрический граф, что для произвольной тройки e_i, e_j, e_k его ребер выполняется условие $e_i \cap e_j \neq \emptyset$ и $e_i \cap e_k \neq \emptyset \Rightarrow e_j \cap e_k \neq \emptyset$. Тогда задача построения NST в графе G является полиномиально разрешимой.

Полиномиальная разрешимость данного случая обеспечивается сводимостью к известной полиномиально разрешимой задаче о пересечении двух матроидов. Из данной теоремы следует более простой полиномиально разрешимый случай задачи построения NST .

Следствие. Проблема построения NST в геометрическом графе с индексом пересечения, равным единице, является полиномиально разрешимой.

Данное следствие создает предпосылки к созданию параметризованного алгоритма построения NST , где в качестве параметра выступает число ребер, имеющих не менее двух собственных пересечений.

1.5 Достаточные условия существования непересекающегося остова в геометрическом графе

Рассмотрим три вершины u, v, w геометрического графа G и образуемый ими треугольник Δuvw . Отметим, что стороны треугольника могут не являться ребрами графа G . Треугольник Δuvw называют *пустым*, если внутри него не содержится ни одна из вершин графа G . Если подграф геометрического графа G , порожденный тремя вершинами u, v, w , является несвязным, то треугольник Δuvw также называют *несвязным*. Число несвязных пустых треугольников в геометрическом графе G обозначим через $s(G)$. В работе [5] представлен следующий результат.

Теорема. Если геометрический граф G на n вершинах, $n \geq 3$ удовлетворяет условию $s(G) \leq n - 3$, то в графе G существует NST .

Напомним, что *дополнением* геометрического графа G называется геометрический граф G' на том же множестве вершин, такой, что две вершины в графе G' смежны тогда и только тогда, когда они не смежны в графе G .

Теорема. Дополнение остова, индекс пересечения которого больше нуля, содержит NST .

Случай, когда вместо дополнения остова рассматривается дополнение NST , оказывается значительно сложнее. Поэтому он вводится дополнительное ограничение на выпуклость NST .

Теорема. Дополнение NST T , вершины которого находятся в выпуклом положении, содержит NST тогда и только тогда, когда T обладает по крайней мере двумя различными компонентами на границе своей выпуклой оболочки.

Ряд работ посвящен исследованию локальных достаточных условий существования NST . В работе [6] была сформулирована следующая гипотеза.

Гипотеза. Пусть $t \geq 2$ – произвольное целое число и G – геометрический граф по крайней мере с t вершинами. Тогда, если для любого множества U из t вершин графа G подграф, индуцированный множеством U , содержит NST , то и граф G содержит NST .

Доказательство или опровержение этой гипотезы пока получено не было. Однако в работе [7] приведено подтверждение гипотезы в частном случае, когда $m = 6$.

Теорема. Если для любого подмножества $U \subset V$ из 6 вершин геометрического графа $G = (V, E)$ порядка $n \geq 6$ подграф, индуцированный множеством U , содержит NST , то и сам граф G содержит NST .

1.6 Достаточные условия отсутствия непересекающегося остовного дерева в геометрическом графе

Пусть задан полный геометрический граф $G = (V, E)$. Рассмотрим некоторый минимальный подграф $B = (V', E')$ графа G такой, что любое NST графа G содержит хотя бы одно ребро подграфа B . Очевидно, что удаление всех ребер подграфа B приводит к тому, что в получаемом графе $G' = (V, E \setminus E')$ не существует NST . Такой подграф B будем называть *блокатором NST* или, в дальнейшем, просто *блокатором*. Подробное исследование различных характеристик блокаторов проведено в работе [8]. Основными являются следующие результаты.

Теорема. Пусть $G = (V, E)$ – полный геометрический граф, а $B = (V', E')$ – подграф графа G такой, что в графе $G' = (V, E \setminus E')$ не существует NST , диаметр которого не превосходит 4. Тогда подграф B является блокатором.

В случае, когда на геометрический граф накладываются дополнительные ограничения, в частности ограничение на выпуклость геометрического графа, может быть получен более сильный результат.

Теорема. Пусть $G = (V, E)$ – выпуклый полный геометрический граф, а $B = (V', E')$ – подграф графа G такой, что в графе $G' = (V, E \setminus E')$ не существует непересекающегося остовного дерева, диаметр которого не превосходит 3. Тогда подграф B является блокатором.

Далее рассмотрим следующую экстремальную проблему для полного геометрического графа: как много произвольных ребер может быть удалено из полного геометрического графа на n вершинах, чтобы оставшийся граф по-прежнему содержал NST . Основные результаты по этой проблеме представлены в работе [9].

Теорема. Для любого k , $2 \leq k \leq n - 1$ и всех полных геометрических графов G на n вершинах, а также для всех подграфов H графа G , содержащих не более $\lfloor kn/2 \rfloor - 1$ вершин, геометрический граф $G - H$ содержит непересекающееся поддерево на $n - k + 1$ вершинах. Данная оценка является

строгой относительно числа ребер в подграфе H : каждый полный геометрический граф G содержит подграф H с $\lfloor kn/2 \rfloor$ ребрами такой, что любое непересекающееся поддерево графа $G - H$ содержит не более $n - k$ вершин.

1.7 Оптимизационная постановка задачи построения непересекающегося остоного дерева в геометрическом графе

В большинстве приложений геометрических графов наличие пересекающихся ребер является нежелательной характеристикой. Некоторые геометрические структуры, например триангуляция, не содержат пересекающихся ребер по определению. Остовные деревья этим свойством не обладают. Рассмотрим две оптимизационные проблемы, а именно построение *NST* минимальной и максимальной длины в полном геометрическом графе. Под длиной *NST* подразумевается сумма длин всех ребер, входящих в дерево.

Отсутствие пересекающихся ребер в остоном дереве минимальной длины следует из неравенства треугольника. Таким образом, любое остоное дерево минимальной длины автоматически будет являться непересекающимся. Существует много полиномиальных алгоритмов построения *NST* минимальной длины в полном геометрическом графе. Примерами таких алгоритмов являются алгоритм Прима и алгоритм Краскала.

В случае проблемы построения *NST* максимальной длины ситуация является диаметрально противоположной. Максимизация длины входящих в остоное дерево ребер вступает в противоречие с необходимостью обеспечить отсутствие пересекающихся ребер. Есть предположение, что проблема построения *NST* максимальной длины в полном геометрическом графе является NP-трудной, однако доказательство или опровержение этого предположения пока не было получено. В статье [10] произведен анализ данной проблемы и предложенный приближенный алгоритм ее решения.

Теорема. Пусть G — полный геометрический граф на n вершинах. Существует приближенный алгоритм решения задачи построения *NST* в геометрическом графе с коэффициентом аппроксимации 0.502 и трудоемкостью $O(n \log n)$.

На текущий момент данный алгоритм является лучшим из известных приближений *NST* максимальной длины в полном геометрическом графе.

2 ЗАДАЧА ПЕРЕСЕЧЕНИЯ ДВУХ МАТРОИДОВ

2.1 Матроиды

Матроидом называют упорядоченную пару (E, X) , где E представляет собой некоторое конечное множество, а X – множество подмножеств множества E , удовлетворяющее следующим условиям:

1. $\emptyset \in X$;
2. Если $I \in X$ и $I' \subseteq I$, то $I' \in X$;
3. Если $I_1 \in X$, $I_2 \in X$ и $|I_1| < |I_2|$, то существует элемент $e \in I_2 \setminus I_1$ такой, что $I_1 \cup \{e\} \in X$.

Если M – матроид (E, X) , то M называют *матроидом на множестве E* . Элементы множества X называются *независимыми множествами* матроида M , а множество E – *носителем* матроида M . Множества E и X матроида M часто обозначаются, как $E(M)$ и $X(M)$ соответственно. Подмножество множества E , которое не содержится в множестве X , называется *зависимым*. Говорят, что множество C является *циклом* матроида M , если C – минимальное по включению зависимое множество матроида M . Максимальные по включению независимые множества матроида M называются *базисами* или *базами*.

Утверждение 1. Если B_1 и B_2 – базисы матроида M , то $|B_1| = |B_2|$.

Утверждение 2. Пусть I – независимое множество матроида $M = (E, X)$, $e \in E$ и $I \cup \{e\}$ – зависимое множество. Тогда в множестве $I \cup \{e\}$ содержится единственный цикл матроида M , причем этот цикл содержит элемент e [11].

Пусть $G = (V, E)$ – геометрический граф. Рассмотрим два примера матроидов $M = (E, X)$ на множестве ребер графа G .

1. *Матроид циклов* или *графический матроид*. Независимое множество матроида представляет собой ациклическое подмножество ребер графа G , цикл – простой цикл графа G , а базис – остовный лес графа G .
2. *Матроид разбиения*. Пусть задано некоторое разбиение P множества E ребер графа, т.е. задано семейство непересекающихся подмножеств множества E , покрывающих E . Подмножество I ребер графа называется независимым в том и только в том случае, если никакие два ребра из I не лежат в одном и том же множестве разбиения P . Циклом матроида разбиения является любое множество, состоящее из двух ребер одного и того же множества разбиения P . Множество ребер, содержащее ровно по одному ребру из каждого множества разбиения P , является базисом матроида разбиения. Пусть множество ребер графа G можно

разбить на непересекающиеся подмножества так, что любые два ребра одно и того же подмножества пересекаются между собой, а любые два ребра из разных подмножеств – нет. Будем называть такой матроид *матроидом пересечений*.

2.2 Постановка задачи

Пусть заданы два матроида $M_1 = (E, X_1)$ и $M_2 = (E, X_2)$, базирующихся на одном и том же множестве элементов E . *Задача пересечения двух матроидов* заключается в нахождении такого наибольшего по мощности множества X' , которое являлось бы независимым для обоих матроидов, т.е. для которого выполняются следующие условия:

1. $X' \subseteq E$;
2. $X' \in X_1$;
3. $X' \in X_2$;
4. X' является наибольшим по мощности множеством среди всех множеств, удовлетворяющих условиям 1–3.

Для краткости изложения задачу пересечения двух матроидов будем называть *задачей ТМІ*.

Задача *ТМІ* является полиномиально разрешимой. Алгоритм решения этой задачи будет рассмотрен в следующем разделе. Следует отметить, что задача пересечения трех матроидов уже является NP-трудной.

2.3 Алгоритм решения задачи

Рассмотрим два матроида $M_1 = (E, X_1)$, $M_2 = (E, X_2)$ и последовательность $S = [e_1, e_2, \dots, e_{2k+1}]$ элементов множества E . Говорят, что последовательность S является *увеличивающим путем* для некоторого множества X , независимого в матроидах M_1 и M_2 , если применение этой последовательности к множеству X переводит это множество в множество X' , также являющееся независимым в матроидах M_1 и M_2 , такое, что $|X'| = |X| + 1$. Под *применением последовательности* к множеству X понимается последовательное добавление в него всех элементов, находящихся на нечетных позициях, и удаление из него всех элементов, находящихся на четных позициях, причем на добавляемые и удаляемые элементы накладываются следующие ограничения: добавляемый элемент должен отсутствовать в множестве, а удаляемый – присутствовать в нем. Отметим, что для того, чтобы

выполнялось условие $|X'| = |X| + 1$, увеличивающий путь всегда содержит нечетное число элементов.

Идея алгоритма решения задачи *ТМІ* заключается в следующем. Пусть известно некоторое множество X , являющееся независимым в каждом из пересекаемых матроидов. Для начала можно взять пустое множество, т.к. оно является независимым по определению. Затем, пока это возможно, строятся увеличивающие пути. Полученное в результате увеличений множество и будет искомым.

Открытым остается вопрос построения увеличивающего пути для имеющегося множества X . Эта проблема решается построением двудольного орграфа G специального вида, вершины которого соответствуют элементам множества E , и двух множеств Q и T . Множество Q содержит элементы (вершины), с которых может начинаться увеличивающий путь, множество T – элементы (вершины), которыми может заканчиваться увеличивающий путь. Построение увеличивающего пути сводится к нахождению кратчайшего пути, ведущего из вершины из множества Q в вершину из множества T . Нахождение кратчайшего пути выполняется простой модификацией алгоритма поиска в ширину.

Алгоритм решения задачи ТМІ [11].

Вход: два матроида $M_1 = (E, X_1)$ и $M_2 = (E, X_2)$, базирующихся на одном и том же множестве элементов E .

Выход: максимальное по мощности множество I , являющееся независимым для матроидов M_1 и M_2 .

1. Множество I инициализируется пустым множеством.
2. Выполняется поиск увеличивающего пути для множества I .
 - 2.1. Выполняется инициализацию структур данных.
 - 2.1.1. Очередь Q инициализируется пустой очередью. Эта очередь будет использоваться для хранения элементов, с которых может начинаться увеличивающий путь.
 - 2.1.2. Множество T инициализируется пустым множеством. В этом множестве будут храниться элементы, которыми может заканчиваться увеличивающий путь.
 - 2.1.3. Список смежности A инициализируется пустым списком смежности. Этот список смежности будет использоваться для хранения дуг вспомогательного двудольного орграфа, используемого для поиска увеличивающего пути.
 - 2.1.4. Словарь P инициализируется пустым словарем. В этом словаре для элементов будет храниться родительский элемент, т.е. элемент, из которой мы пришли в данный во

время поиска увеличивающего пути. Этот словарь нужен для восстановления увеличивающего пути.

2.2. Выполняется построение вспомогательного двудольного орграфа.

2.2.1. Итерируемся по всем элементам множества $E \setminus I$.

2.2.2. Пусть на текущей итерации просматривается элемент e_i . Обозначим множество $I \cup \{e_i\}$ через I' .

2.2.3. Если множество I' является независимым в матроидах M_1 и M_2 , то увеличивающий путь найден – он состоит из единственного элемента e_i . Переходим к шагу 3.

2.2.4. Если множество I' является независимым только в матроиде M_1 , то добавляем элемент e_i в хвост очереди Q . В противном случае, согласно утверждению 2, множество I' содержит единственный цикл C в матроиде M_1 . Добавляем в список смежности A дуги из элементов цикла C в элемент e_i , исключая петлю (e_i, e_i) .

2.2.5. Если множество I' является независимым только в матроиде M_2 , то добавляем элемент e_i в множество T . В противном случае, согласно утверждению 2, множество I' содержит единственный цикл D в матроиде M_2 . Добавляем в список смежности A дуги из элемента e_i в элементы цикла D , исключая петлю (e_i, e_i) .

2.3. Выполняем поиск увеличивающего пути.

2.3.1. Если очередь Q пуста, то увеличивающий путь для множества I не существует. Переходим к шагу 4.

2.3.2. Извлекаем элемент e из головы очереди Q .

2.3.3. Итерируемся по всем элементам e' , в которые ведут дуги из элемента e (используем список смежности A).

2.3.4. Если элемент e' еще не просматривался, т.е. словарь P не хранит предка данного элемента, то добавляем в словарь P e в качестве предка вершины e' .

2.3.5. Если элемент e' принадлежит множеству T , то увеличивающий путь существует, переходим к восстановлению увеличивающего пути (шаг 2.4). В противном случае увеличивающий путь пока не найден, возвращаемся к шагу 2.3.1.

2.4. Восстанавливаем увеличивающий путь, итерируясь по предкам элементов, используя словарь P . Увеличивающий путь найден, переходим к шагу 3.

3. Если увеличивающий путь найден, то применяем его к множеству I и возвращаемся к шагу 2.
4. Если увеличивающий путь не найден, то алгоритм завершает свою работу, возвращая в качестве ответа множество I .

Трудоемкость данного алгоритма зависит от вида пересекаемых матроидов. В частности, ключевую роль играет трудоемкость алгоритма поиска цикла в зависимом множестве матроида.

Теорема [11]. Пусть на вход алгоритма решения задачи TMI подаются матроиды $M_1 = (E, X_1)$ и $M_2 = (E, X_2)$, а задача поиска цикла в зависимом множестве может быть решена за время $O(C(|E|))$ для каждого из матроидов M_1, M_2 . Тогда алгоритм решения задачи TMI корректно решает задачу TMI за время $O(|E|^3 C(|E|))$.

2.4 Особенности программной реализации

Для реализации алгоритма решения задачи TMI был выбран язык программирования *Java*. Реализация алгоритма велась с использованием интегрированной среды разработки *Intellij IDEA*, системы автоматической сборки *Gradle*, библиотеки для модульного тестирования *JUnit*.

Алгоритм решения задачи TMI был реализован в общем виде без привязки к каким-либо конкретным видам пересекаемых матроидов. Класс, отвечающий за решение задачи TMI , представлен интерфейсом всего из одного метода, принимающего на вход два матроида и возвращающего наибольшее по мощности независимое множество в заданных матроидах. Сами матроиды также представлены интерфейсом, содержащим два метода. Первый метод позволяет получить носитель матроида, второй – находит цикл, если таковой имеется, в множестве матроида.

Для представления графа, а также его ребер и вершин, было принято решение вместо использования сторонних библиотек разработать собственную реализацию с целью упрощения работы с графом и оптимизации реализации под нужды разрабатываемого алгоритма.

Интерфейс вершин графа крайне прост, он содержит всего два метода: получение идентификатора вершины (элемента, которому соответствует вершина; как правило, в качестве идентификатора вершины используется число) и получение координат вершины на плоскости. На реализацию интерфейса вершины накладывается ограничение: вершины с одинаковым идентификатором должны быть равны между собой.

Интерфейс ребра позволяет получить его альтернативные представления: в виде пары вершин, в виде отрезка на плоскости, в виде потока вершин. Как и в случае вершины, на реализацию интерфейса ребра накладывается дополнительное ограничение: ребра между одними и теми же вершинами с сохранением направленности должны быть равны между собой.

Важно отметить, что реализации интерфейса вершин и ребер должны быть *immutable* (неизменяемыми), что позволит безопасно передавать их без клонирования за пределы классов, которым они принадлежат, а также использовать их в многопоточной среде без дополнительной синхронизации.

Интерфейс графа оставляет за конкретной реализацией ответы на следующие вопросы: являются ли ребра направленными, допускаются ли в графе петли, допускаются ли в графе кратные ребра. Помимо стандартных методов получения, добавления и удаления вершин и ребер графа, интерфейс содержит методы, позволяющие получить индекс пересечения графа, ребро с наибольшим индексом пересечения, связные компоненты и мосты.

Ввиду того, что конкретная реализация интерфейсов вершин и ребер для графа скрыта от пользователя, интерфейс графа предоставляет *factory*-методы для создания вершин и ребер.

Для реализации алгоритма были разработаны следующие имплементации описанных интерфейсов: *SimpleVertex* (вершина, соответствующая точке на плоскости), *SimpleUndirectedEdge* (неориентированное ребро), *UndirectedGraphWithIntersections* (неориентированный граф, не допускающий петли и кратные ребра), *BaseMatroidIntersectionAlgorithm* (реализация алгоритма пересечения двух матроидов, представленного в предыдущем разделе).

Реализация алгоритма является однопоточной, т.к. в дальнейшем предполагается использовать алгоритм пересечения двух матроидов при разработке алгоритмов решения задачи построения непересекающихся подграфов в геометрических графах и выполнять распараллеливание на более высоком уровне.

Реализация разработанного алгоритма находится в *приложении А*.

2.5 Применение для решения задачи построения большого непересекающегося ациклического подграфа в геометрическом графе

Пусть задан некоторый геометрический граф. Рассмотрим два матроида на множестве ребер этого графа: графический матроид и матроид пересечений.

Напомним, что графический матроид на множестве ребер геометрического графа может быть построен всегда, а матроид пересечений – лишь в случае, когда множество ребер графа может быть разбито на непересекающиеся подмножества так, что никакие два ребра из разных подмножеств не пересекаются, любые два ребра из одного и того же подмножества пересекаются. Пример геометрического графа, допускающего построение матроида пересечений, представлен на *рисунке 2*.

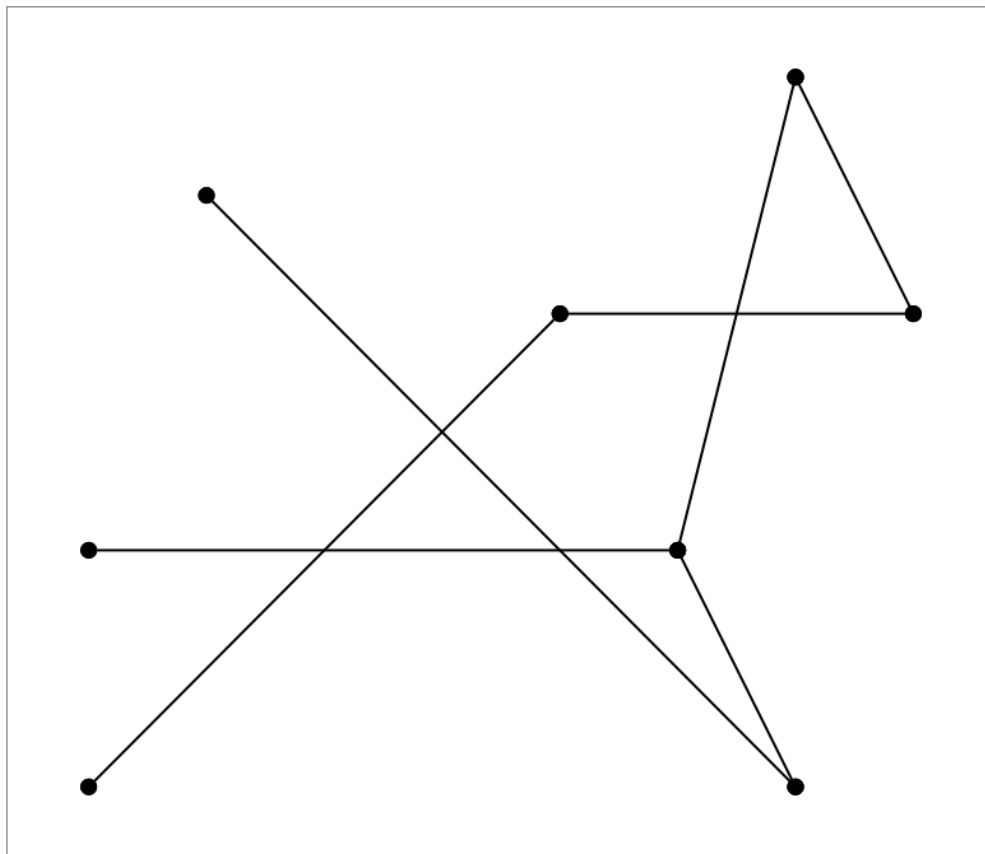


Рисунок 2 – Геометрический граф, допускающий построение матроида пересечений

Независимость множества в графическом матроиде означает ацикличность множества ребер, независимость в матроиде пересечений – отсутствие пересекающихся ребер. Пересечение графического матроида и матроида пересечений представляет собой наибольший по числу ребер непересекающийся подграф. Если число ребер в этом подграфе ровно на единицу меньше числа вершин в исходном графе, то такой подграф является *NST*. Таким образом, если можно построить матроид пересечений на множестве ребер геометрического графа, то можно проверить наличие и построить *NST* в случае его существования за полиномиальное время, используя алгоритм решения задачи *TMI*.

Теорема. Пусть $G = (V, E)$ – геометрический граф, на множестве ребер E которого может быть построен матроид пересечений. Тогда задача построения *NST* и задача построения наибольшего непересекающегося

ациклического подграфа могут быть решены для графа G за полиномиальное время.

Примером геометрического графа, допускающего построение матроида пересечений на множестве ребер, является геометрический граф, имеющий индекс пересечения, равный единице. Пример такого графа представлен на следующем рисунке.

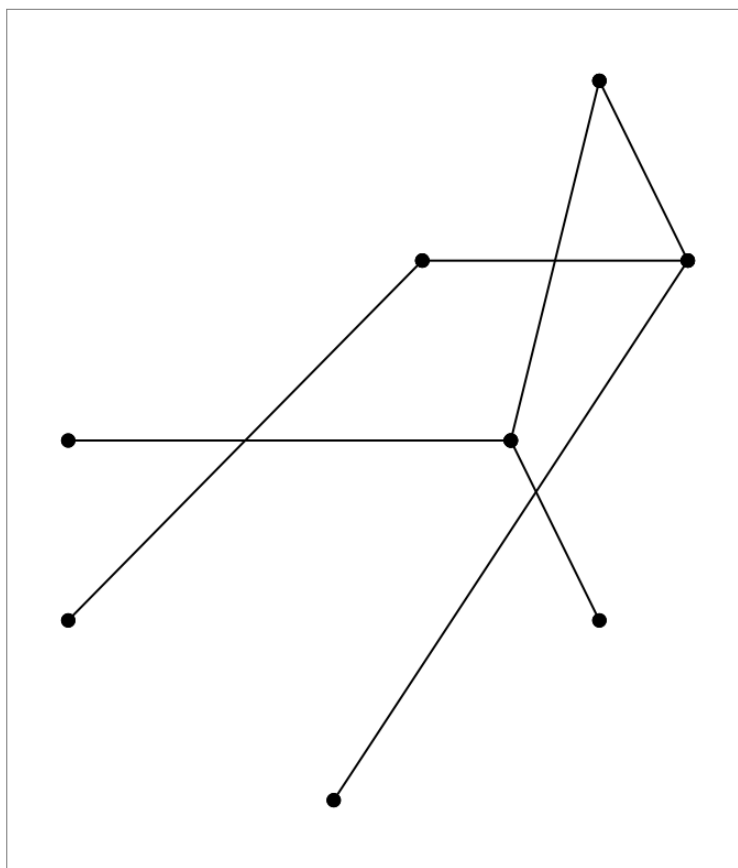


Рисунок 3 – Геометрический граф с индексом пересечения, равным 1

2.6 Применение для решения задачи построения большого непересекающегося ациклического подграфа с множеством зафиксированных ребер в геометрическом графе

Рассмотрим более общий случай задачи построения NST и задачи построения наибольшего непересекающегося ациклического подграфа в геометрическом графе. Пусть вместе с геометрическим графом $G = (V, E)$ задается некоторое фиксированное подмножество $E' \subseteq E$ его ребер. Необходимо построить в графе G NST (наибольший непересекающийся ациклический подграф), содержащее(ий) в себе E' .

В данном разделе будет показано, что эта задача также может быть решена за полиномиальное время для геометрических графов, допускающих построение матроида пересечений на множестве ребер.

Пусть задан матроид $M = (E, X)$ и независимое множество N этого матроида. Рассмотрим упорядоченную пару $M' = (E', X')$, где $E' = E \setminus N$, $X' = \{N' : N' \subseteq E', N' \cup N \in X\}$. Докажем, что упорядоченная пара M' также является матроидом. Для этого проверим, что она удовлетворяет каждому из трех условий из определения матроида. Доказательство будем производить методом «от противного».

1. Пусть $\emptyset \notin X'$. Тогда $N \notin X$. Противоречие с тем, что N является независимым множеством матроида M по определению.
2. Пусть $I \in X'$, $I' \subseteq I$ и $I' \notin X'$. Обозначим $J = I \cup N$, $J' = I' \cup N$. Из определения упорядоченной пары M' следует, что $J \in X$, $J' \subseteq J$ и $J' \notin X$. Получаем, что матроид M не удовлетворяет второму условию из определения матроида – противоречие.
3. Пусть $I_1 \in X'$, $I_2 \in X'$, $|I_1| < |I_2|$ и не существует элемент $e \in I_2 \setminus I_1$ такой, что $I_1 \cup \{e\} \in X'$. Обозначим $J_1 = I_1 \cup N$, $J_2 = I_2 \cup N$. Из определения упорядоченной пары M' следует, что $J_1 \in X$, $J_2 \in X$, $|J_1| < |J_2|$ и не существует элемент $e \in J_2 \setminus J_1 = I_2 \setminus I_1$ такой, что $J_1 \cup \{e\} \in X$. Получаем, что матроид M не удовлетворяет третьему условию из определения матроида – противоречие.

Получаем, что упорядоченная пара M' , полученная из матроида M путем фиксирования независимого множества N , также является матроидом. Такой матроид M' будем называть *матроидом с зафиксированным множеством N* . Заметим, что каждому независимому множеству I' матроида M' соответствует независимое множество $I = I' \cup N$ матроида M .

Пусть задан графический матроид $M_g = (E, X_g)$, матроид пересечений $M_i = (E, X_i)$ и множество зафиксированное ребер N такое, что $N \in X_g$ и $N \in X_i$. Используя алгоритм решения задачи ТМІ, построим пересечение матроидов M'_g и M'_i , полученных из матроидов M_g и M_i соответственно путем фиксирования независимого множества N . Добавив к полученному пересечению множество N , получим пересечение исходных матроидов M_g и M_i , причем это пересечение содержит фиксированное множество ребер N .

Таким образом, задача построения NST с множеством зафиксированных ребер и задача построения наибольшего непересекающегося ациклического подграфа с множеством зафиксированных ребер могут быть решены за полиномиальное время для геометрических графов, допускающих построение матроида пересечений на множестве ребер, путем сведения этих задач к задаче пересечения двух матроидов с зафиксированным множеством.

Теорема. Пусть $G = (V, E)$ – геометрический граф, на множестве ребер E которого может быть построен матроид пересечений. Пусть $E' \subseteq E$ – некоторое зафиксированное подмножество ребер графа G . Тогда задача построения NST с множеством зафиксированным ребер E' и задача построения наибольшего непересекающегося ациклического подграфа с множеством зафиксированных ребер E' могут быть решены для графа G за полиномиальное время.

Этот факт будет использован в дальнейшем в работе при разработке алгоритма частичного перебора с отсечениями для решения задачи построения NST .

3 ЗАДАЧА ПОСТРОЕНИЯ БОЛЬШОГО НЕПЕРЕСЕКАЮЩЕГОСЯ АЦИКЛИЧЕСКОГО ПОДГРАФА В ГЕОМЕТРИЧЕСКОМ ГРАФЕ

В данной главе будут представлены точные экспоненциальные алгоритмы решения задачи построения NST и задачи построения наибольшего непересекающегося ациклического в геометрическом графе, базирующиеся на методе частичного перебора с отсечениями.

При переборе для ребра будем рассматривать две возможные ситуации: ребро не входит в искомый подграф, ребро входит в искомый подграф. В первом случае происходит удаление рассматриваемого ребра. Во втором – ребро фиксируется и становится обязательным для включения. Во время фиксирования ребра также происходит удаление ребер, которые не могут входить в искомый подграф вместе с зафиксированным. Такими, например, являются ребра, которые пересекают зафиксированное ребро. Во время перебора для каждого варианта возможны два случая:

1. вариант имеет специальный вид, допускающий проверку наличия и построение искомого подграфа за полиномиальное время;
2. вариант порождает некоторое множество подвариантов, которые необходимо проверить.

3.1 Специальные случаи задачи построения большого непересекающегося ациклического подграфа в геометрическом графе

Одним из самых простых специальных случаев геометрического графа для задачи построения NST является несвязный граф. Очевидно, что несвязный геометрический граф не содержит NST . Отметим, что при этом данный случай не является специальным для задачи построения наибольшего непересекающегося ациклического подграфа.

Другим простым случаем геометрического графа, допускающего проверку наличия и построение NST и наибольшего непересекающегося ациклического подграфа за полиномиальное время, является непересекающийся геометрический граф. Любой подграф такого геометрического графа будет непересекающимся по определению. Поэтому для построения NST и наибольшего непересекающегося ациклического подграфа

можно применить любой из жадных алгоритмов построения. Например, может быть использован обычный поиск в глубину или ширину. Большинство таких жадных алгоритмов могут быть легко модифицированы таким образом, чтобы поддерживать множество зафиксированных ребер, которое должно входить в искомых подграф.

Воспользуемся тем свойством, что любой мост графа обязательно входит в остовное дерево этого графа при условии, что оно существует. Таким образом, если геометрический граф содержит один или более мостов, то задача построения *NST* может быть разбита на подзадачи меньшего размера. Удалим из геометрического графа все мосты и ребра, пересекающие эти мосты. Если число полученных компонент связности превосходит число мостов, увеличенное на единицу, то исходный граф не содержит *NST*. Если число компонент связности в точности равно числу мостов, увеличенному на единицу, то решим задачу построения *NST* для каждой из компонент связности. Если хотя бы одна из компонент связности не содержит *NST*, то и исходный геометрический граф не содержит *NST*. Если для каждой компоненты связности удалось построить *NST*, то *NST* исходного геометрического графа может быть получено добавлением удаленных мостов к построенным *NST*. Отметим, что такое разбиение на подзадачи применимо для задачи построения *NST*, но не для задачи построения наибольшего непересекающегося ациклического подграфа.

Напомним, что задача построения *NST* и задача построения наибольшего непересекающегося ациклического подграфа могут быть решены за полиномиальное время для геометрического графа, допускающего построение матроида пересечений на множестве ребер. Проверка, можно ли построить матроид пересечений на множестве ребер геометрического графа, является довольно трудоемкой, поэтому в качестве специального случая геометрического графа можно использовать более узкий класс геометрических графов, а именно геометрические графы с индексом пересечения, равным единице.

3.2 Алгоритм частичного перебора с отсечениями для решения задачи построения непересекающегося остовного дерева в геометрическом графе

В данном разделе представлен точный экспоненциальный алгоритм частичного перебора с отсечениями для решения задачи построения *NST* с опциональным множеством зафиксированных ребер.

Алгоритм частичного перебора с отсечениями для решения задачи построения NST с опциональным множеством зафиксированных ребер.

Вход: геометрический граф G , опциональное множество N зафиксированных ребер.

Выход: NST, содержащее множество N зафиксированных ребер, если такое NST существует в графе G .

1. Множество зафиксированных ребер N инициализируется пустым множеством, если оно не было подано на вход.
2. Очередь задач Q инициализируется очередью из одного элемента – пары (G, N) . Очередь Q будет использоваться для хранения подзадач, которые необходимо решить – пар (подграф G' , множество зафиксированных ребер подграфа G').
3. Если очередь Q пуста, то в геометрическом графе G отсутствует NST. Алгоритм завершает свою работу.
4. Извлекаем из очереди Q пару (G_i, N_i) .
5. Если геометрический граф G_i является несвязным, то он не содержит NST, возвращаемся на шаг 3.
6. Если геометрический граф G_i является непересекающимся, то выполняем построение NST с фиксированным множеством ребер N_i , используя любую модификацию алгоритма поиска обычного остовного дерева, поддерживающую задание ребер, которые обязаны входить в остовное дерево. Если удалось построить NST, то алгоритм завершает свою работу, возвращая построенное NST в качестве ответа. Если построить NST не удалось, то возвращаемся на шаг 3.
7. Если возможно построить матроид пересечений на множестве ребер геометрического графа G_i (например, индекс пересечения графа G_i равен 1), то выполняем построение NST с фиксированным множеством ребер N_i , используя алгоритм решения задачи TMI. Если удалось построить NST, то алгоритм завершает свою работу, возвращая построенное NST в качестве ответа. Если построить NST не удалось, то возвращаемся на шаг 3.
8. *Опциональный шаг.* Если геометрический граф G_i содержит хотя бы один мост, то решаем задачу построения NST с указанием соответствующих фиксированных ребер для каждой из компонент связности, которые получаются из графа G_i путем удаления мостов и всех ребер, пересекающих мосты. Если после удаления мостов и пересекающих их ребер число образованных компонент связности превосходит число мостов, увеличенное на единицу, то NST в графе G_i отсутствует, возвращаемся на шаг 3. Если для каждой из компонент связности удалось построить NST, то строим NST графа G_i , объединяя

NST компонент связности с мостами графа G_i . Алгоритм завершает свою работу, возвращая построенное NST в качестве ответа. Если хотя бы для одной компоненты связности NST построить не удалось, то возвращаемся на шаг 3. Отметим, что решать задачу построения NST для компонент связности можно двумя способами. Первый (самый простой) способ заключается в рекурсивном вызове данного алгоритма для каждой из компонент связности. Второй способ, который может быть полезен для параллельной реализации алгоритма, предполагает добавление в очередь Q подзадач (G_{ij}, N_{ij}) , где G_{ij} – j -ая компонента связности графа G_i , $N_{ij} = N_i \cap E(G_{ij})$. При этом необходимо модифицировать соответствующим образом данный алгоритм для обработки таких подзадач и выполнения агрегирования результатов после их решения.

9. Выбираем некоторое ребро e_i графа G_i , которое имеет индекс пересечения, больший 0. Такое ребро всегда можно выбрать, т.к. в противном случае алгоритм остановился бы на шаге 6. Алгоритм выбора ребра e_i допускает вариации и зависит от конкретной реализации алгоритма. Например, можно брать ребро с наибольшим индексом пересечения или случайное ребро.

10. Если ребро e_i не образует цикл с зафиксированными ребрами N_i , то строим граф G_{i1} , удаляя из графа G_i все ребра, что пересекают ребро e_i , и добавляем в очередь Q подзадачу $(G_{i1}, N_i \cup \{e_i\})$.

11. Строим граф G_{i2} удалением ребра e_i и добавляем в очередь Q подзадачу (G_{i2}, N_i) .

12. Возвращаемся на шаг 3.

Представленный алгоритм оставляет за реализацией решение следующих вопросов:

1. Реализация очереди Q . Задачи могут извлекаться в порядке поступления, случайным образом, в соответствии с некоторым приоритетом или иным образом.
2. Конкретный алгоритм поиска NST с множеством зафиксированных ребер, используемый на шаге 6.
3. Включение в алгоритм шага 8.
4. Алгоритм выбора ребра на шаге 9.
5. Распараллеливание алгоритма: пары (G_i, N_i) могут обрабатываться независимо друг от друга.
6. Мемоизация и кэширование с целью исключения повторных вычислений.

3.3 Трудоемкость алгоритма частичного перебора с отсеечениями для решения задачи построения непересекающегося остовного дерева в геометрическом графе

Рассмотрим трудоемкость представленного алгоритма при следующих условиях: произвольная реализация очереди Q , любой полиномиальный алгоритм поиска NST для шага 6, отсутствие шага 8, выбор ребра с наибольшим индексом пересечения на шаге 9.

Пусть на вход алгоритму подан граф G , содержащий k пар пересекающихся ребер, время работы шагов 5-7 алгоритма составляет $O(P_1(n, m))$, время работы шагов 9-11 – $O(P_2(n, m))$, где $n = |V(G_i)|$, $m = |E(G_i)|$, P_1 и P_2 – некоторые полиномы.

Подзадачи (G_i, N_i) будем называть *простыми*, если они могут быть решены без дальнейшего разбиения на подзадачи, т.е. будут обработаны на шагах 5-7. Подзадачи, не являющиеся простыми, будем называть *составными*. Отметим, что обработка составных задач выполняется на шагах 5-7 и шагах 9-11. Под *размером подзадачи* (G_i, N_i) будем понимать число пар пересекающихся ребер в графе G_i . Граф G_i будем называть *графом подзадачи*. Обработка простых подзадач может быть произведена за время $O(P_1(n_i, m_i))$, составных – за время $O(P_1(n_i, m_i) + P_2(n_i, m_i))$.

Очевидно, что подзадачи размера 0 являются простыми, т.к. графы подзадач являются непересекающимися. Простыми также являются подзадачи (G_i, N_i) , где граф G_i имеет индекс пересечения, равный 1, т.к. такие подзадачи будут обработаны на шаге 6. Следовательно, простыми также являются подзадачи размера 1, потому что индекс пересечения графов таких подзадач будет также равен 1.

Подзадача либо является простой, либо разбивается на не более чем две подзадачи, каждая из которых, в свою очередь, может быть простой или составной. Заметим, что размер подзадач, образуемых при разбиении составной задачи, не менее чем на 2 меньше размера исходной составной подзадачи. Действительно, если подзадача является составной, то ее индекс пересечения равен минимум 2. Отсюда следует, что и индекс пересечения ребра e_i , выбираемого на шаге 9, также будет не меньше 2. При удалении или фиксировании ребра e_i размер получаемой подзадачи уменьшается на число пересекаемых ребром e_i ребер, т.е. не менее чем на 2.

Исходная задача (G, N) имеет размер k . Исходя из того, что при разбиении размер образуемых подзадач не менее чем на 2 меньше размера исходной составной подзадачи, а также учитывая тот факт, что число образуемых подзадач не превосходит 2, получаем, что задача размера k может

породить не более чем $2^{k/2}$ простых подзадач и не более чем $2^{k/2}$ составных подзадач. Следовательно, общее время работы алгоритма составляет $O\left(2^{k/2}P_1(n, m) + 2^{k/2}(P_1(n, m) + P_2(n, m))\right) = O\left(2^{k/2}(2P_1(n, m) + P_2(n, m))\right) = O^*\left(2^{k/2}\right) = O^*\left(\sqrt{2}^k\right) \approx O^*(1.4143^k)$. Отметим, что полученный алгоритм значительно улучшает предыдущую оценку времени работы $O^*(1.9276^k)$, представленную в работе [3].

Теорема. Пусть G – геометрический граф, имеющий k пар пересекающихся ребер. Задача построения NST может быть решена для графа G за время $O^*(1.4143^k)$.

Влияние шага 8 на время работы алгоритма является объектом для дальнейшего исследования. С одной стороны, разбиение на подзадачи по компонентам связности после удаления мостов и пересекающихся мосты ребер может увеличивать общее число подзадач. И число образуемых простых подзадач, и число образуемых составных подзадач может превышать $2^{k/2}$. В то же время, размеры (число ребер и вершин) графов подзадач могут быть значительно меньше, что потенциально ускоряет обработку подзадач и может приводить к меньшему итоговому времени работы алгоритма.

3.4 Алгоритм частичного перебора с отсечениями для решения задачи построения наибольшего непересекающегося ациклического подграфа в геометрическом графе

Алгоритм частичного перебора с отсечениями для решения задачи построения NST с опциональным множеством зафиксированных ребер может быть адаптирован для решения задачи построения наибольшего непересекающегося ациклического подграфа с опциональным множеством зафиксированных ребер в геометрическом графе.

Алгоритмы построения NST для простых подзадач могут быть легко модифицированы для построения наибольшего непересекающегося ациклического подграфа. Случай несвязного подграфа, в котором явно отсутствует NST , может содержать наибольший ациклический подграф, поэтому также должен обрабатываться. Следовательно, отбрасывать его, как это делается в алгоритме решения задачи построения NST , нельзя. В отличие от NST наибольший непересекающийся ациклический подграф может не содержать мосты, поэтому шаг 8 алгоритма решения задачи построения NST неприменим. Также стоит отметить, что ранняя остановка перебора может быть осуществлена только в случае нахождения NST , т.к. в противном случае не

гарантируется, что оставшиеся для перебора варианты не содержат большего непересекающегося ациклического подграфа.

Алгоритм частичного перебора с отсечениями для решения задачи построения наибольшего непересекающегося ациклического подграфа с опциональным множеством зафиксированных ребер.

Вход: геометрический граф G , опциональное множество N зафиксированных ребер.

Выход: наибольший непересекающийся ациклический подграф графа G , содержащий множество N зафиксированных ребер, если такой существует.

1. Множество фиксированных ребер N инициализируется пустым множеством, если оно не было подано на вход.
2. Наибольший ациклический непересекающийся подграф G_{max} инициализируется графом $(V(G), N)$.
3. Очередь задач Q инициализируется очередью из одного элемента – пары (G, N) . Очередь Q будет использоваться для хранения подзадач, которые необходимо решить – пар (подграф G' , множество зафиксированных ребер подграфа G').
4. Если очередь Q пуста или G_{max} является NST , то алгоритм завершает свою работу, возвращая G_{max} в качестве ответа.
5. Извлекаем из очереди Q пару (G_i, N_i) .
6. Если геометрический граф G_i является непересекающимся, то выполняем построение наибольшего непересекающегося ациклического подграфа G'_i с фиксированным множеством ребер N_i . Если подграф G'_i больше подграфа G_{max} , то $G_{max} := G'_i$. Переходим на шаг 4.
7. Если возможно построить матроид пересечений на множестве ребер геометрического графа G_i (например, индекс пересечения графа G_i равен 1), то выполняем построение наибольшего непересекающегося ациклического подграфа G'_i с фиксированным множеством ребер N_i , используя алгоритм решения задачи TMI . Если подграф G'_i больше подграфа G_{max} , то $G_{max} := G'_i$. Переходим на шаг 4.
8. Выбираем некоторое ребро e_i графа G_i , которое имеет индекс пересечения, больший 0. Такое ребро всегда можно выбрать, т.к. в противном случае алгоритм остановился бы на шаге 6. Алгоритм выбора ребра e_i допускает вариации и зависит от конкретной реализации алгоритма. Например, можно брать ребро с наибольшим индексом пересечения или случайное ребро.
9. Если ребро e_i не образует цикл с зафиксированными ребрами N_i , то строим граф G_{i1} , удаляя из графа G_i все ребра, что пересекают ребро e_i , и добавляем в очередь Q подзадачу $(G_{i1}, N_i \cup \{e_i\})$.

10. Строим граф G_{i2} удалением ребра e_i и добавляем в очередь Q подзадачу (G_{i2}, N_i) .

11. Возвращаемся на шаг 4.

Разработанный алгоритм оставляет за реализацией решение следующих вопросов:

1. Реализация очереди Q . Задачи могут извлекаться в порядке поступления, случайным образом, в соответствии с некоторым приоритетом или иным образом.
2. Конкретный алгоритм поиска наибольшего ациклического непересекающегося подграфа с множеством зафиксированных ребер, используемый на шаге 6.
3. Алгоритм выбора ребра на шаге 8.
4. Распараллеливание алгоритма: пары (G_i, N_i) могут обрабатываться независимо друг от друга.
5. Мемоизация и кэширование с целью исключения повторных вычислений.

Алгоритм решения задачи построения наибольшего ациклического непересекающегося подграфа с опциональным множеством зафиксированных ребер в геометрическом графе имеет ту же трудоемкость $O^*(1.4143^k)$, что и алгоритм решения задачи построения NST с опциональным множеством зафиксированных ребер.

Теорема. Пусть G – геометрический граф, имеющий k пар пересекающихся ребер. Задача построения наибольшего непересекающегося ациклического подграфа может быть решена для графа G за время $O^*(1.4143^k)$.

3.5 Особенности программной реализации

Для разработки представленных в данной главе алгоритмов использовалась та же программная среда, что и для разработки алгоритма решения задачи TMI (см. раздел 2.4).

Алгоритмы были реализованы в следующем варианте: для хранения подзадач используется несколько потокобезопасных очередей с использованием work-stealing алгоритма извлечения подзадач из очереди; на шаге 6 используется алгоритм построения наибольшего непересекающегося ациклического подграфа, основанный на системе непересекающихся множеств и работающий за время $O(m)$, где m – число ребер в графе; шаг 8 включен в реализацию алгоритма решения задачи построения NST с опциональным

множеством зафиксированных ребер, причем подзадачи решаются не рекурсивно, а с использованием общих с другими подзадачами очередей и дополнительных механизмов синхронизации; на *шаге 9 (8)* выбирается ребро с наибольшим индексом пересечения; реализация является параллельной, причем распараллеливание возможно на произвольное число потоков, не превышающее общее число образуемых подзадач; мемоизация и кэширование не производятся, однако используется ряд вспомогательных классов, позволяющих ускорить некоторые вычисления; на *шаге 7* лишь проверяется, имеет ли граф подзадачи индекс пересечения, равный 1, т.к. полная проверка, можно ли построить матроид пересечений на множестве ребер графа подзадачи, слишком трудоемка.

Параллельная реализация алгоритмов основана на общих очередях подзадач и использовании ForkJoinPool-a. Для упрощения реализации и повышения уровня параллелизации алгоритма решения задачи построения *NST* с опциональным множеством зафиксированных ребер между подзадачами не делается различия, т.е. подзадачи, формируемые на *шагах 8, 10 и 11*, хранятся в одних и тех же очередях подзадач и обрабатываются единообразно. ForkJoinPool представляет собой реализацию пула потоков из стандартной библиотеки Java. Его ключевой особенностью являются эффективные механизмы порождения дочерних подзадач и ожидания завершения их обработки для агрегирования результатов, а также пониженное по сравнению с другими стандартными реализациями пула потоков потребление ресурсов процессора при решении задач, порождающих большое число подзадач. Такая эффективность ForkJoinPool-a обеспечивается за счет использования work-stealing механизма обработки подзадач: «простаивающие» потоки «воруют» (отсюда и название «work-stealing») подзадачи, порожденные подзадачами, обрабатываемыми другими потоками. Это позволяет одновременно обрабатывать число подзадач, значительно превышающее число потоков в ForkJoinPool-e.

С целью уменьшения объема используемой алгоритмами памяти, а также уменьшения числа механизмов синхронизации, многие объекты являются immutable. Таковыми, например, являются реализации интерфейсов ребра, вершины, матроида. Это позволяет передавать и использовать эти объекты сразу несколькими потоками без использования дополнительных механизмов синхронизации. К тому же это позволяет использовать одни и те же immutable объекты в различных подзадачах (например, одни и те же экземпляры вершин графа во всех графах подзадач), что избавляет от необходимости клонировать эти объекты и уменьшает объем потребляемой памяти.

Кэширование и мемоизация в явном виде не применяются, однако разработан и используется ряд вспомогательных классов, позволяющих

ускорить некоторые вычисления, в том числе за счет исключения повторных вычислений. Например, для множества фиксированных ребер поддерживается система непересекающихся множеств, представляющая разбиение вершин на компоненты связности и позволяющая быстро ответить на вопрос, приводит ли добавление нового фиксированного ребра к образованию цикла.

Реализованные алгоритмы покрыты *unit*-тестами.

Программный код реализованных алгоритмов находится в *Приложении А*.

3.6 Вычислительный эксперимент

Продemonстрируем работу разработанных алгоритмов на нескольких примерах.

На *рисунке 4* представлен граф, имеющий 20 вершин, 127 ребер, индекс пересечения 53, 1370 пар пересекающихся ребер. Решив 1150090 подзадач за 43.784 секунды, алгоритм решения задачи построения *NST* построил *NST* в этом графе (*рисунок 5*).

Теперь рассмотрим задачу построения наибольшего непересекающегося ациклического подграфа в геометрическом графе. На *рисунке 6* изображен граф со следующими параметрами: 40 вершин, 115 ребер, индекс пересечения 50, 1142 пары пересекающихся ребер. Алгоритм обнаружил наибольший ациклический подграф (*рисунок 7*) на 35 ребрах, решив 581420 подзадач за 33.934 секунды.

Заметим, что число решаемых алгоритмами подзадач и общее время работы алгоритмов в рассмотренных примерах выглядят очень оптимистично на фоне оценки числа трудоемкости $O^*(1.4143^k)$. Действительно, $1.4143^{1000} > 10^{150}$.

Стоит отметить, что при одних и тех же параметрах графа (число вершин и ребер, индекс пересечения, число пар пересекающихся ребер) число решаемых подзадач и время работы алгоритма могут сильно варьироваться. Это обусловлено тем, что общее число рассматриваемых подзадач сильно зависит от структуры пересечений ребер в геометрическом графе.

Также стоит отметить, что в случае существования *NST* в поданном на вход графе происходит ранняя остановка работы алгоритма, когда это *NST* обнаруживается. В случае же отсутствия *NST* в заданном графе оба алгоритма вынуждены выполнить исчерпывающий поиск по всем подзадачам.

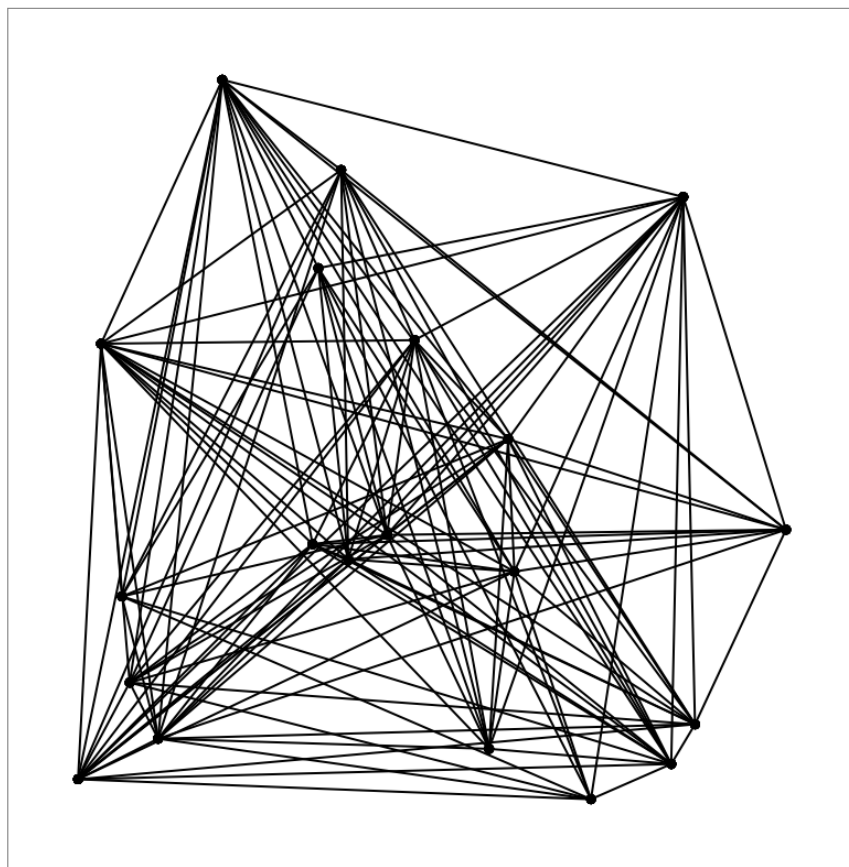


Рисунок 4 – Геометрический граф, содержащий NST

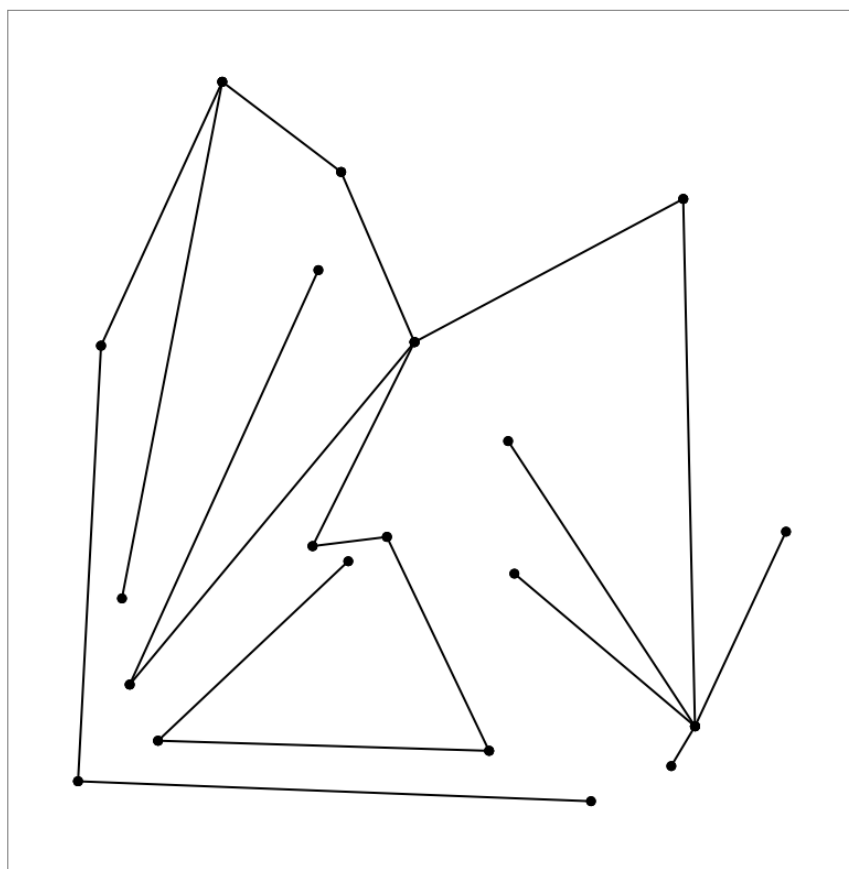


Рисунок 5 – NST

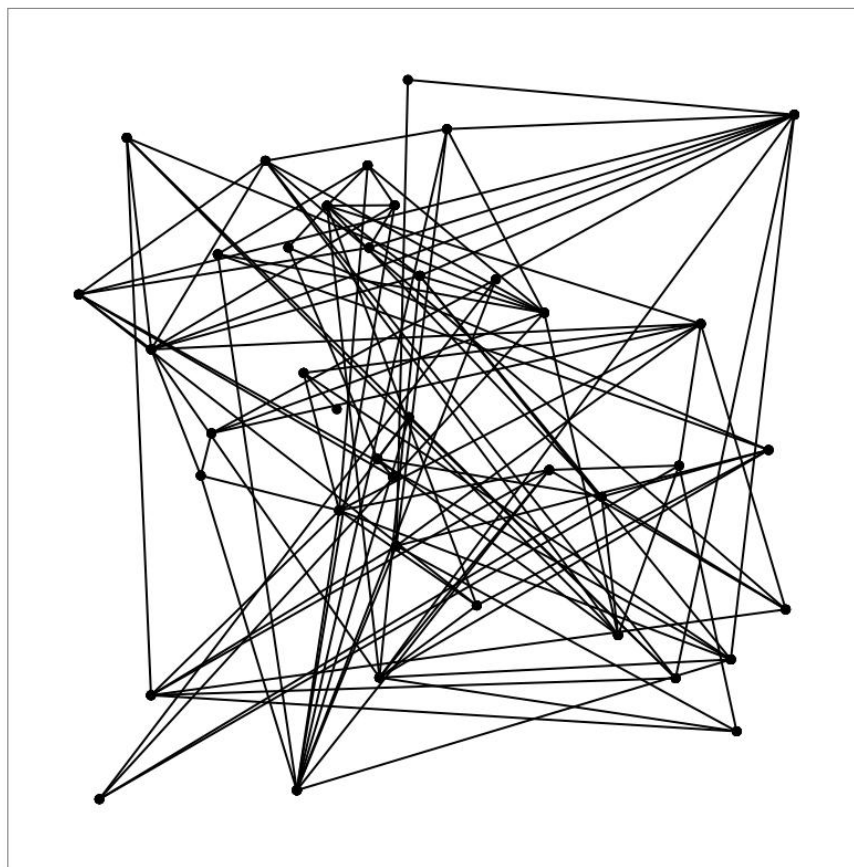


Рисунок 6 – Геометрический граф, не содержащий *NST*

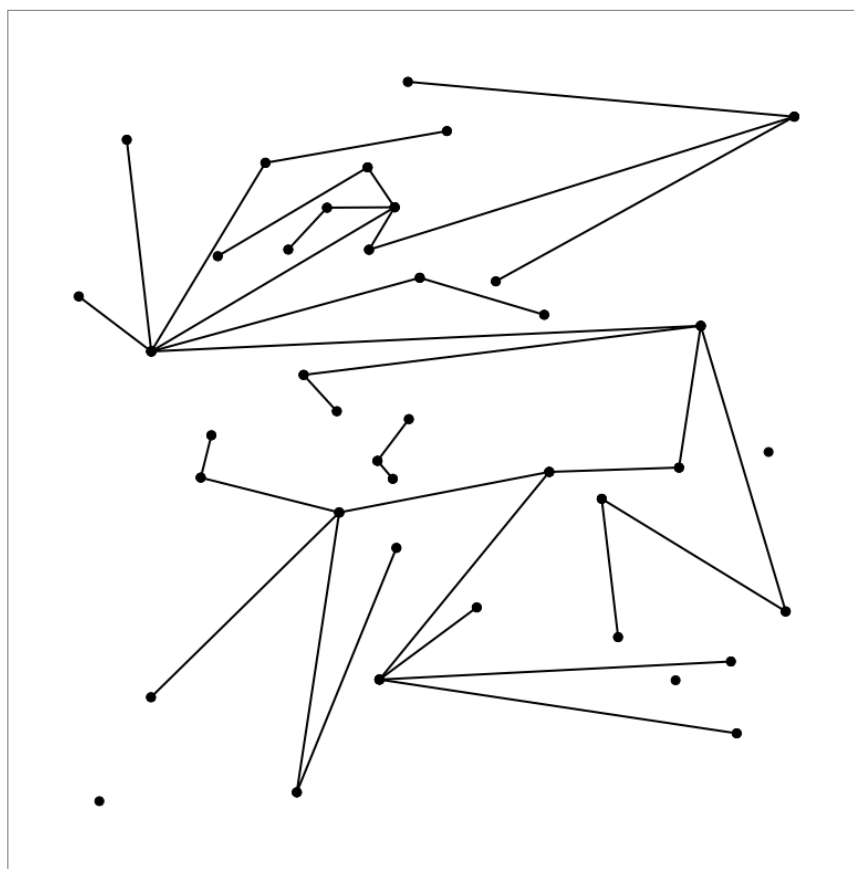


Рисунок 7 – Наибольший непересекающийся ациклический подграф

4 ЗАДАЧА ПОСТРОЕНИЯ НЕПЕРЕСЕКАЮЩЕГОСЯ ОСТОВНОГО ДЕРЕВА В ВОГНУТОМ ГЕОМЕТРИЧЕСКОМ ГРАФЕ

Напомним, что задача построения NST в выпуклом геометрическом графе может быть решена за время $O(n^3)$. В данной главе будет представлен алгоритм решения задачи построения NST в более общем, чем выпуклые геометрические графы, классе при помощи метода динамического программирования с трудоемкостью $O(n^3)$.

4.1 Вогнутые геометрические графы

Многоугольником называется часть плоскости, ограниченная замкнутой ломаной без самопересечений. Эту ломаную называют *границей многоугольника*. Вершины ломаной называются *вершинами многоугольника*, а отрезки – *сторонами многоугольника*. Отрезки, соединяющие несмежные вершины многоугольника, называют *диагоналями*. Многоугольник называется *выпуклым*, если он лежит по одну сторону от любой прямой, содержащей его сторону (т.е. продолжения сторон многоугольника не пересекают других его сторон). В противном случае многоугольник называется *невыпуклым*. Диагональ многоугольника будем называть *допустимой*, если она лежит строго внутри данного многоугольника. В противном случае диагональ будем называть *недопустимой*. Очевидно, что все диагонали выпуклого многоугольника являются допустимыми.

Рассмотрим геометрический граф, вершины которого являются вершинами некоторого невыпуклого многоугольника, при этом все ребра геометрического графа лежат внутри или на границе этого многоугольника. Такой геометрический граф будем называть *вогнутым*. Пример вогнутого графа изображен на *рисунке 8*. Очевидно, что для выпуклого геометрического графа, содержащего не менее 3 вершин, существует аналогичный выпуклый многоугольник. Соответствующий графу многоугольник будем называть *многоугольником этого графа*. Не трудно заметить, что геометрический граф не может одновременно являться выпуклым и вогнутым.

Триангуляцией многоугольника называется такой геометрический граф, что:

1. каждая внутренняя грань ограничена треугольником;

2. граница внешней грани совпадает с границей триангулируемого многоугольника.

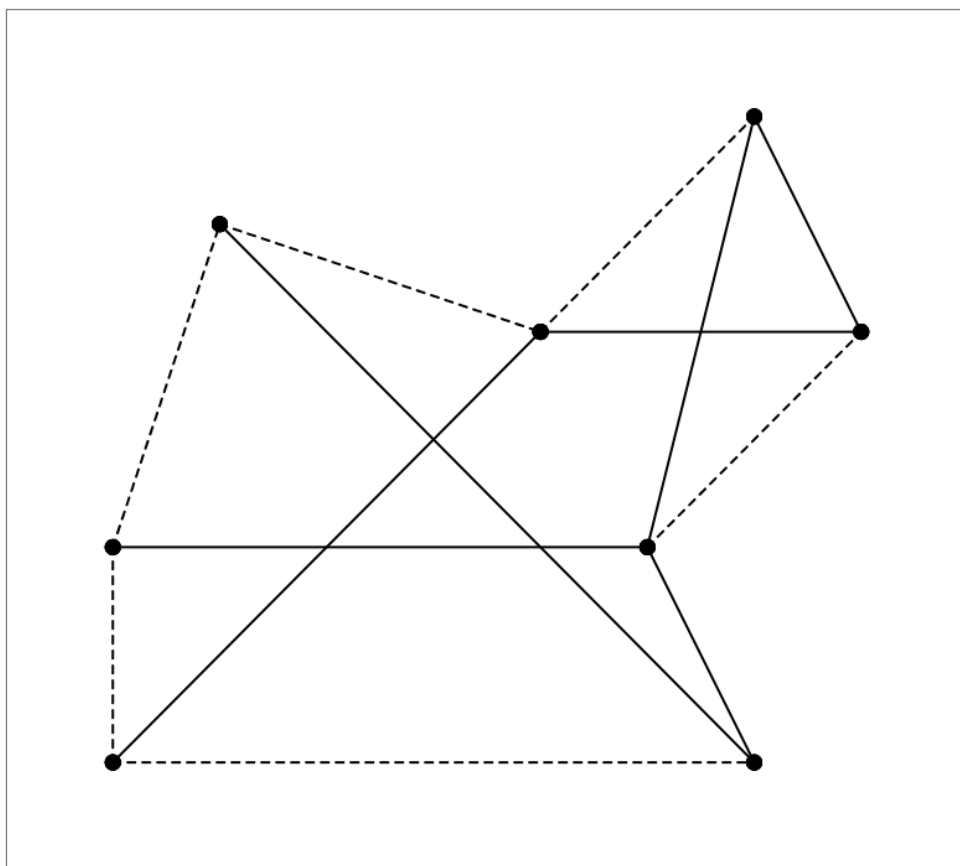


Рисунок 8 – Вогнутый геометрический граф

4.2 Описание решения задачи

Заметим, что если в выпуклом или вогнутом геометрическом графе существует NST , то существует и триангуляция многоугольника этого графа, для которой NST является подграфом. Таким образом, перебрав все триангуляции многоугольника геометрического графа, можно проверить существование NST в этом графе.

Рассмотрим некоторый выпуклый или вогнутый геометрический граф $G = (V, E)$, $|V| = n$, $n \geq 3$ и соответствующий ему многоугольник M . Обозначим через S множество сторон многоугольника M . Пусть $T(M)$ – множество всех триангуляций многоугольника M .

Очевидно, что каждая сторона многоугольника M содержится ровно в одной внутренней грани для каждой триангуляции из множества $T(M)$. Пронумеруем вершины графа числами от 1 до n вдоль границы многоугольника M . Рассмотрим произвольную сторону этого многоугольника.

Не нарушая общности, пусть это будет сторона C с вершинами 1 и 2. Проанализируем все треугольники, лежащие внутри многоугольника и содержащие сторону C . Таковым является множество треугольников $R_{1,2}$, содержащее треугольники $\Delta_{1,2,j}$, где $j \in \{3, 4, \dots, n\}$, а диагонали $1, j$ и $2, j$ являются допустимыми. Пусть $T(\Delta_{p,q,r})$ – множество триангуляций из $T(M)$, содержащих $\Delta_{p,q,r}$. Не трудно заметить, что $\bigcup T(\Delta_i) = T(M)$, $\Delta_i \in R_{1,2}$.

Зафиксируем некоторый треугольник $\Delta_{1,2,j}$. Он разбивает множество вершин V графа на два множества $V_1 = \{2, 3, \dots, j\}$ и $V_2 = \{j, j+1, \dots, n, 1\}$, $V_1 \cup V_2 = V$. Рассмотрим два подграфа $G_1 = (V_1, E_1)$ и $G_2 = (V_2, E_2)$ геометрического графа G , индуцируемые множествами вершин V_1 и V_2 соответственно. Заметим, что каждый из подграфов G_1, G_2 является или геометрическим графом на двух вершинах, или геометрическим графом, которому соответствует некоторый многоугольник, т.е. графом, допускающим дальнейшее аналогичное разбиение. Возьмем произвольные непересекающиеся остовные леса F_1 и F_2 в подграфах G_1 и G_2 соответственно. Непересекающийся остовный лес графа $G' = (V, E_1 \cup E_2)$ получается из лесов F_1 и F_2 объединением деревьев, содержащих вершину j , а также вершины 1 и 2 соответственно при условии наличия ребра $e_{1,2}$ в геометрическом графе G . В отношении подграфов G_1 и G_2 возможны следующие случаи:

1. В подграфах G_1, G_2 существуют NST T_1, T_2 соответственно. Очевидно, что тогда и графы G', G содержат NST $T_1 \cup T_2$;
2. Один из подграфов содержит NST T , а другой – такой непересекающийся остовный лес на двух деревьях F , что вершины 1, j или 2, j принадлежат разным деревьям. Если в графе G существует ребро $e_{1,2}$, то и в графе G' , и в графе G существует NST $T \cup F \cup e_{1,2}$. В противном случае в графе G' существует такой непересекающийся остовный лес на двух деревьях $T \cup F$, что вершины 1, 2 принадлежат разным деревьям.
3. Если подграфы G_1, G_2 не удовлетворяют условиям 1 и 2, то не трудно заметить, что в графе G' не существует NST . Более того, в графе G' также не существует такого непересекающегося остовного леса на двух деревьях, что вершины 1 и 2 принадлежат разным деревьям.

Таким образом, существование NST в геометрическом графе G может быть проверено следующим образом. Фиксируется некоторая сторона C многоугольника M . Перебираются все допустимые треугольники Δ_i на множестве вершин V , содержащие сторону C . Каждый треугольник Δ_i разбивает граф G на два подграфа G_1, G_2 , для которых задача решается рекурсивно. Для тривиального случая, когда геометрический граф содержит ровно две вершины, существование NST или непересекающегося остовного дерева на двух деревьях определяется наличием ребра между этими двумя

вершинами. Если для хотя бы одного разбиения существует NST , то NST существует и для графа G . В противном случае не существует триангуляции многоугольника M , содержащей NST геометрического графа G в качестве подграфа, а значит, геометрический граф G не содержит NST .

4.3 Алгоритм решения задачи

Для выпуклого или невыпуклого геометрического графа G задача построения NST может быть решена с использованием метода динамического программирования. Рассмотрим матрицу S размера $n \times n$. Элементу $s_{i,j}$, $i < j$ поставим в соответствие подграф $G_{i,j}$ графа G , индуцируемый множеством вершин с номерами $\{i, i+1, \dots, j\}$. Если диагональ i, j является допустимой, то в $s_{i,j}$ будем хранить 2, если подграф $G_{i,j}$ содержит NST ; 1, если подграф $G_{i,j}$ содержит такой непересекающийся остоновый лес на двух деревьях, что вершины с номерами i и j принадлежат разным деревьям; 0 в противном случае. Если диагональ i, j является недопустимой, то в $s_{i,j}$ будем хранить -1 . На первом, восходящем этапе алгоритма производится последовательное заполнение матрицы S . Затем проверяется существование NST в графе G . NST в графе G существует тогда и только тогда, когда $s_{1,n} = 2$. Если NST существует, то оно может быть восстановлено на втором, нисходящем этапе алгоритма, предполагающем рекурсивно восстанавливать NST путем пробега по матрице S и определения разбиений, приводящих к построению NST .

Алгоритм построения NST в выпуклом или вогнутом геометрическом графе.

Вход: выпуклый или вогнутый геометрический граф $G = (V, E)$, $|V| = n$, $n > 3$ и многоугольник M графа G .

Выход: NST графа G , если оно существует в графе G .

1. Выполняется нумерация вершин геометрического графа G числами от 1 до n вдоль границы многоугольника.
2. Если геометрический граф G является вогнутым, то определяем для каждой диагонали многоугольника M , является ли она допустимой. Для выпуклого геометрического графа все диагонали являются допустимыми.
3. Выполняем шаги 4-6 в цикле по i от $n-1$ до 1.
4. Если $e_{i,i+1} \in E$, то $s_{i,i+1} := 2$. Иначе $s_{i,i+1} := 1$.
5. Выполняем шаг 6 в цикле по j от $i+2$ до n .
6. Если диагональ i, j является недопустимой, то $s_{i,j} := -1$. Иначе $s_{i,j} := \max_{i < k < j} f(s_{ik}, s_{kj})$, где $f(a, b)$, $a, b \in \{-1, 0, 1, 2\}$ принимает значение -1 , если хотя бы одно из значений a, b равно -1 ; 2, если

$a = b = 2$ или $e_{i,j} \in E$ и $(a = 1, b = 2$ или $a = 2, b = 1)$; 1, если $e_{i,j} \notin E$ и $(a = 1, b = 2$ или $a = 2, b = 1)$; 0 в противном случае.

7. Если $s_{1,n} \neq 2$, то в геометрическом графе G отсутствует NST . Алгоритм завершает свою работу.

8. Изначально множество ребер NST пусто: $E_T := \emptyset$.

9. $i := 1, j := n$.

10. Если $j = i + 1$ и $e_{i,j} \in E$, то $E_T := E_T \cup e_{i,j}$.

11. Если $j > i + 1$, то находим $k' = \operatorname{argmax}_{i < k < j} f(s_{ik}, s_{kj})$, где $f(a, b)$ определена на шаге 6. Если $s_{i,j} = 2$ и $(s_{i,k'} = 1, s_{k',j} = 2$ или $s_{i,k'} = 2, s_{k',j} = 1)$, то $E_T := E_T \cup e_{i,j}$. Повторяем *шаги 10-11* для $i = i, j = k'$ и $i = k', j = j$.

12. Возвращается E_T в качестве ответа.

Оценим трудоемкость представленного алгоритма. Нумерация вершин геометрического графа G на *шаге 1* может быть выполнена за время $O(n)$. Является ли геометрический граф G выпуклым, можно также определить за время $O(n)$. Трудоемкость проверки всех диагоналей графа на допустимость составляет $O(n^3)$ для невыпуклого геометрического графа. Таким образом, *шаг 2* выполняется за время $O(n)$ для выпуклого геометрического графа, $O(n^3)$ – для вогнутого. Если информация о выпуклости или вогнутости заданного графа подается на вход алгоритму, то для выпуклого геометрического графа *шаг 2* будет выполнен за время $O(1)$. *Шаги 3-6* представляют собой 3 вложенных цикла по вершинам графа и имеют трудоемкость $O(n^3)$. *Шаги 7-9* и *12* являются элементарными и занимают время $O(1)$. Не трудно заметить, что *шаги 10* и *11* будут вызываться $O(n)$ раз каждый. Трудоемкость *шага 10* составляет $O(1)$, *шага 11* – $O(n)$. Отметим, что трудоемкость *шага 11* можно уменьшить до $O(1)$, если предпросчитывать и сохранять k' на *шаге 6*. При этом, правда, потребуется $O(n^2)$ дополнительной памяти для хранения k' для всех пар i, j .

Итого, трудоемкость алгоритма построения NST в выпуклом или вогнутом геометрическом графе составляет $O(n^3)$.

Теорема. Пусть G – выпуклый или вогнутый геометрический граф на n вершинах. Задача построения NST в графе G может быть решена за время $O(n^3)$ с использованием метода динамического программирования.

4.4 Особенности программной реализации

Для разработки представленного в данной главе алгоритма использовалась та же программная среда, что и для разработки алгоритма решения задачи *TMI* (см. *раздел 2.4*).

Из особенностей реализации стоит отметить использование библиотеки *JTS* (*JTS Topology Suite*). *JTS* является java-библиотекой с открытым исходным кодом. Она предоставляет объектную модель для 2D геометрии вместе с набором основных геометрических функций.

JTS библиотека используется для определения допустимых диагоналей в многоугольнике выпуклого или вогнутого геометрического графа. Для этого сначала строится замкнутая кривая (класс *LinearRing*) на вершинах геометрического графа в порядке их нумерации, на основе которой выполняется построение объекта класса *Polygon*. Данный класс библиотеки *JTS* позволяет проверить, лежит ли диагональ (объект класса *LineString*) внутри многоугольника, при помощи метода *covers*. Этот метод используется для проверки каждой из диагоналей многоугольника геометрического графа на допустимость.

Стоит отметить, что во время выполнения *шагов 3-6* алгоритма будет использована каждая из диагоналей, причем не однократно. Ленивая проверка допустимости диагонали с мемоизацией не даст выигрыша в производительности. Вычисление допустимости диагонали по необходимости без мемоизации позволит сэкономить $O(n^2)$ памяти, но при этом ухудшит время работы алгоритма до $O(n^4)$ из-за увеличения трудоемкости проверки диагонали на допустимость на этапе решения подзадач (*шаги 3-6*) с $O(1)$ до $O(n)$.

Алгоритм реализован в варианте, когда k' каждый раз вычисляется на *шаге 11*, а не предпросчитывается на *шаге 6* с последующим сохранением. Также стоит отметить, что для хранения представления многоугольника геометрического графа используется список вершин в порядке обхода многоугольника по или против часовой стрелки.

Реализованный алгоритм покрыт *unit*-тестами.

Программный код реализованного алгоритма находится в *Приложении А*.

4.5 Вычислительный эксперимент

Продemonстрируем работу алгоритма на примере.

Представленный на *рисунке 9* вогнутый геометрический граф имеет 100 вершин и 1509 ребер. Его индекс пересечения равен 941, а суммарное число пересекающихся пар ребер составляет 401981. Очевидно, что алгоритму частичного перебора с отсечениями с трудоемкостью $O^*(1.4143^k)$, представленному в *разделе 3.2*, не под силу решить задачу построения *NST* для такого графа. Напомним, что k в оценке трудоемкости обозначает число пар пересекающихся ребер, т.е. 401981 для рассматриваемого вогнутого графа.

Реализованный в данной главе алгоритм построил *NST* для этого вогнутого графа всего за 1.7 секунды. Построенное *NST* изображено на *рисунке 10*.

Сравним скорость работы разработанных в *главах 3 и 4* алгоритмов на более простом примере, решаемом алгоритмом частичного перебора с отсечениями за разумное время.

На *рисунке 11* представлен вогнутый геометрический граф, имеющий 20 вершин и 133 ребра. Индекс пересечения этого графа равен 67, а число пар пересекающихся ребер – 2438.

Алгоритм решения задачи построения *NST* в выпуклом или вогнутом геометрическом графе работал 0.01 секунды для заданного вогнутого графа и построил *NST*, изображенное на *рисунке 12*.

Алгоритм частичного перебора с отсечениями для решения задачи построения *NST* в произвольном геометрическом графе построил *NST*, решив за 6.212 секунд 193208 подзадач. Это *NST*, отличающееся от построенного первым алгоритмом, представлено на *рисунке 13*.

Алгоритм частичного перебора с отсечениями имеет экспоненциальную трудоемкость, поэтому, что ожидаемо, работает значительно медленнее полиномиального алгоритма. Разница во времени работы для рассмотренного вогнутого геометрического графа составила 621.2 раза. При этом важно отметить, что время работы алгоритма частичного перебора с отсечениями значительно меньше худшего времени работы, которое дает оценка трудоемкости $O^*(1.4143^k)$.

Несмотря на значительно большее время работы, алгоритм частичного перебора с отсечениями, в отличие от полиномиального алгоритма, решает задачу построения *NST* для любого геометрического графа, а не только для выпуклых или вогнутых геометрических графов, и позволяет фиксировать множество ребер, которые обязаны входить в *NST*.

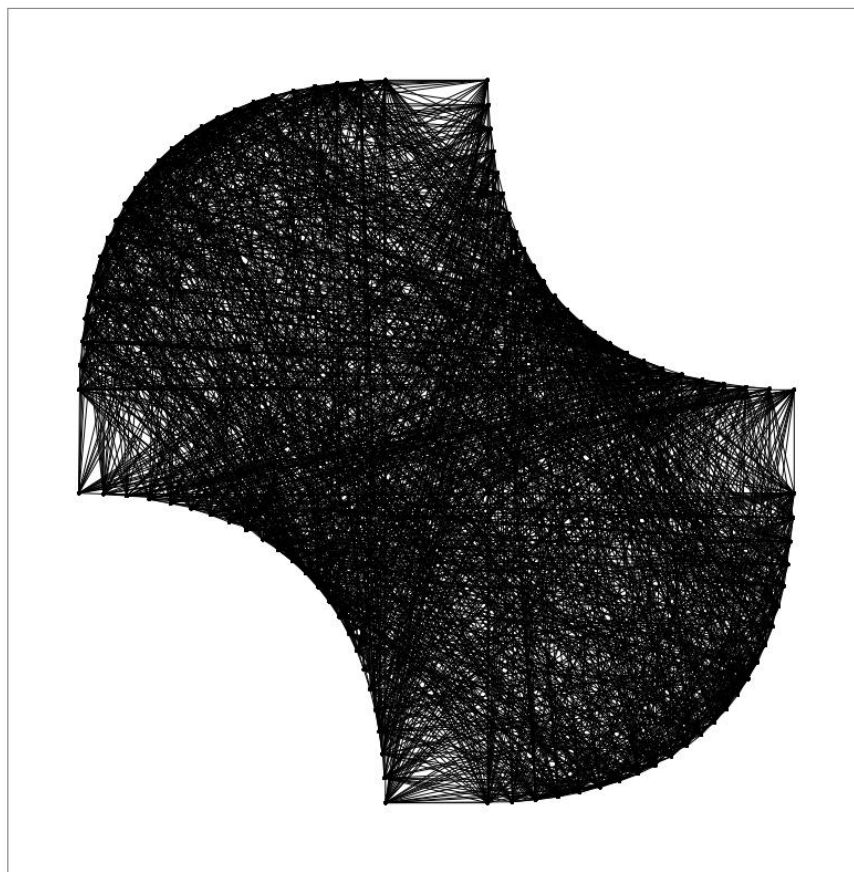


Рисунок 9 – Вогнутый геометрический граф

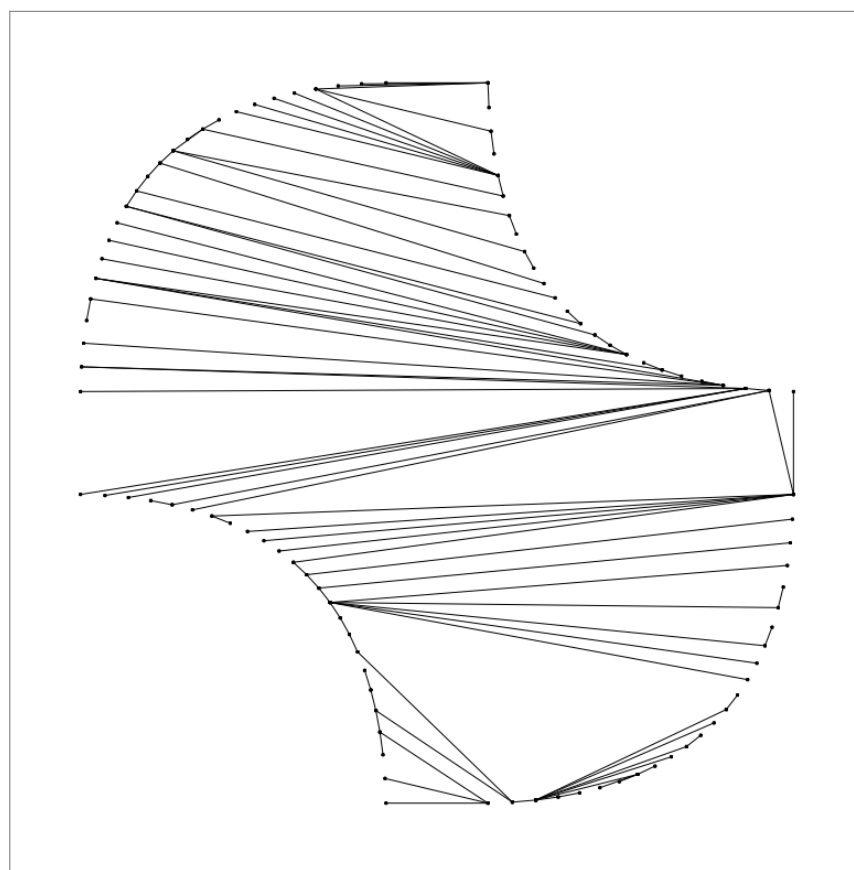


Рисунок 10 – NST вогнутого геометрического графа

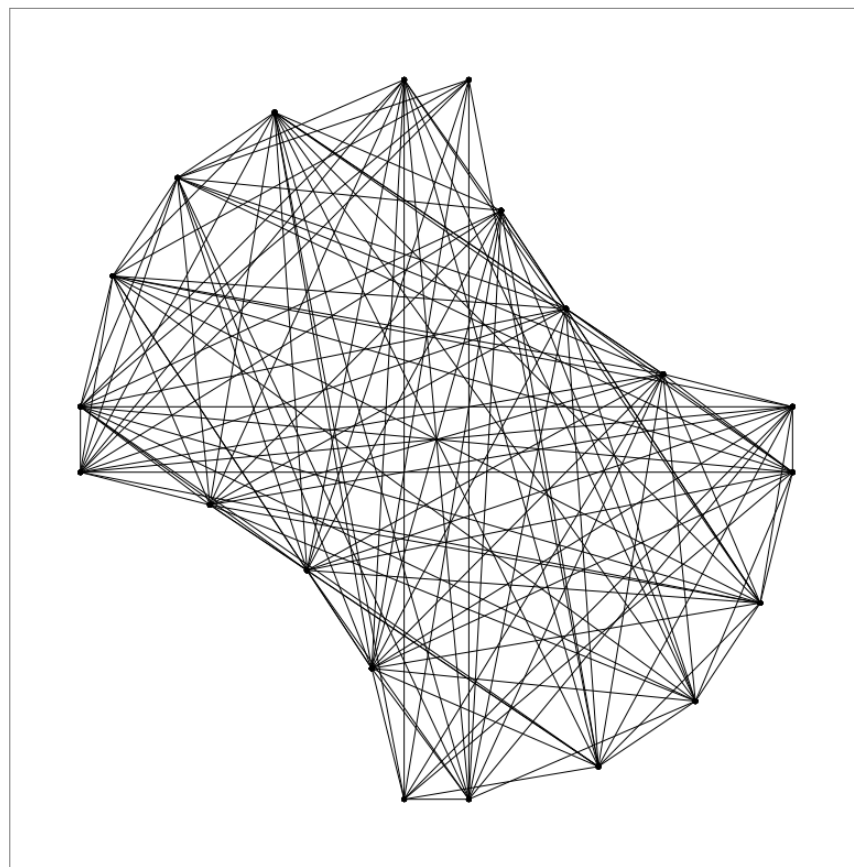


Рисунок 11 – Вогнутый геометрический граф

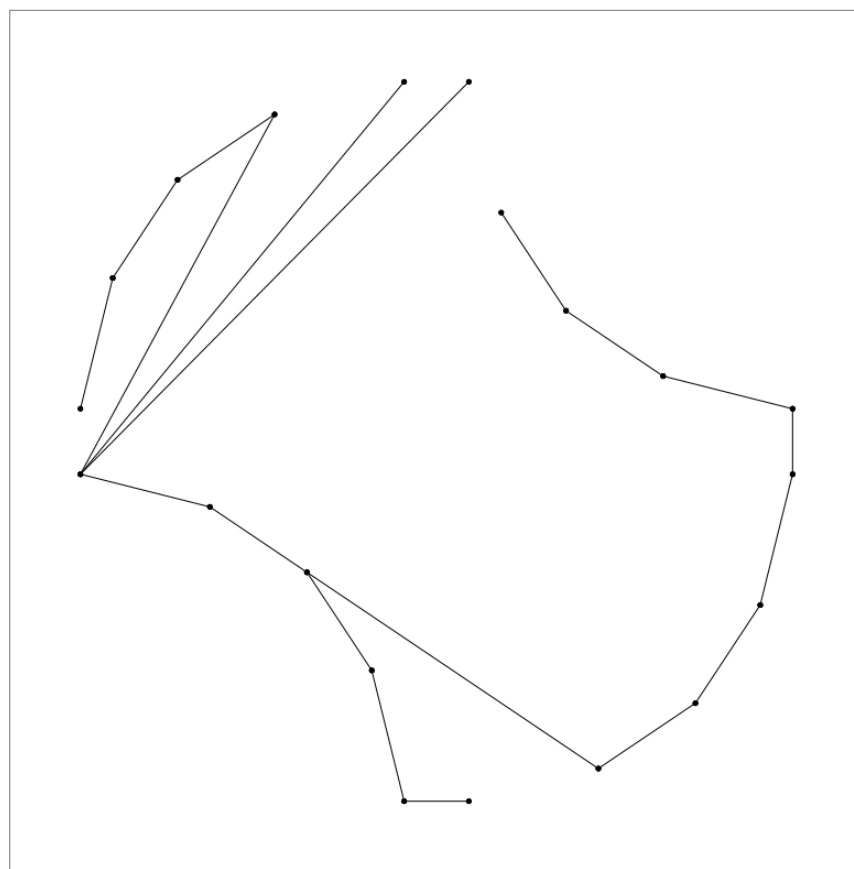


Рисунок 12 – NST, построенное полиномиальным алгоритмом

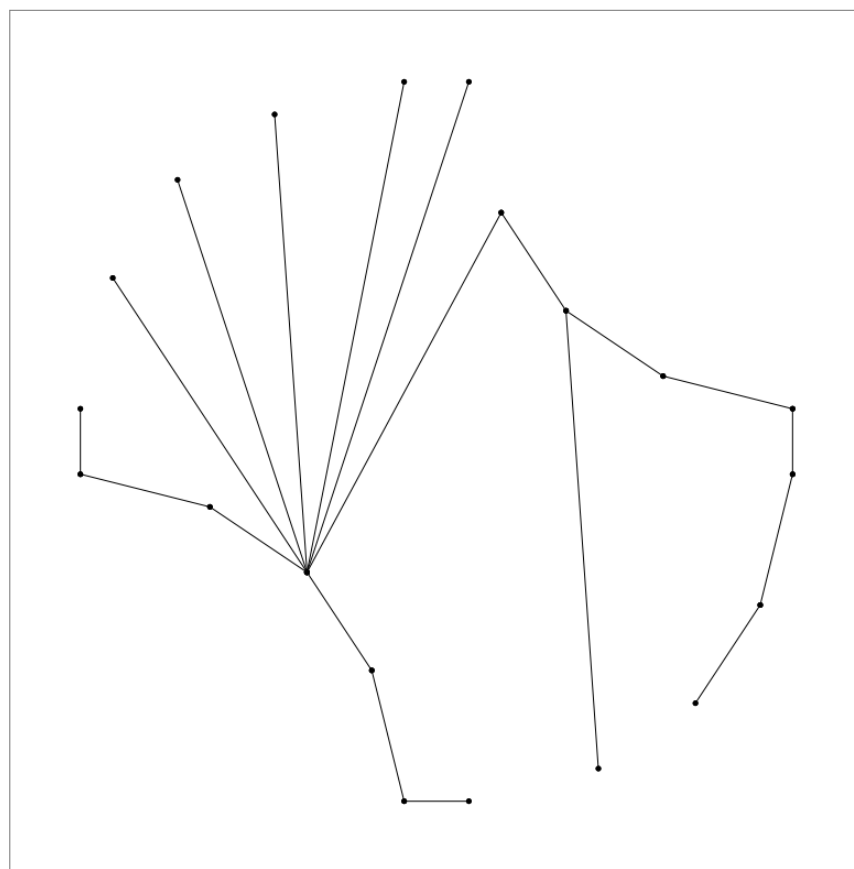


Рисунок 13 – NST, построенное алгоритмом частичного перебора с отсечениями

ЗАКЛЮЧЕНИЕ

В рамках диссертационной работы изучены материалы по проблеме построения больших непересекающихся ациклических подграфов в геометрических графах, включая:

- точные экспоненциальные алгоритмы построения непересекающихся ациклических подграфов в геометрических графах;
- параметризованные алгоритмы построения непересекающихся ациклических подграфов в геометрических графах;
- полиномиально разрешимые случаи задачи построения непересекающихся ациклических подграфов в геометрических графах;
- задача пересечения двух матроидов.

Основные результаты работы состоят в следующем:

- разработан и программно реализован алгоритм решения задачи пересечения двух матроидов с возможностью фиксирования множества элементов, которое обязано входить в пересечение;
- предложен способ применения алгоритма решения задачи пересечения двух матроидов с возможностью фиксирования множества обязательных элементов для решения задачи построения непересекающегося остовного дерева и задачи построения наибольшего непересекающегося ациклического подграфа в геометрическом графе, допускающем построение матроида пересечений на множестве ребер, с возможностью указания множества обязательных для вхождения в искомый подграф ребер;
- разработан и программно реализован алгоритм частичного перебора с отсечениями для решения задачи построения непересекающегося остовного дерева в геометрическом графе, дана оценка трудоемкости разработанного алгоритма;
- разработан и программно реализован алгоритм частичного перебора с отсечениями для решения задачи построения наибольшего непересекающегося ациклического подграфа в геометрическом графе, дана оценка трудоемкости разработанного алгоритма;
- введено понятие вогнутого геометрического графа, предложен точный полиномиальный алгоритм решения задачи построения непересекающегося остовного дерева в вогнутом геометрическом графе.

СПИСОК ИСПОЛЬЗОВАННЫХ ИСТОЧНИКОВ

1. Jansen, K. The complexity of detecting crossingfree configurations in the plane / K. Jansen, G. J. Woeginger. – 1993. – P. 580–595.
2. Knauer, C. Configurations with few crossings in topological graphs / C. Knauer, E. Schramm, A. Spillner, A. Wolff // International Symposium on Algorithms and Computations (ISAAC), 2005. – Springer, 2005. – v. 3827. – P. 604–613.
3. Halldorsson, M. Parameterized algorithms and complexity of non-crossing spanning trees / M. Halldorsson, C. Knauer, A. Spillner, T. Tokuyama // 10th Workshop on Algorithms and Data Structures (WADS), Halifax, Canada, 2007 – Halifax, 2007. – P. 410–421.
4. Бенедиктович, В.И. Алгоритмы и сложность построения некоторых комбинаторно-геометрических конфигураций: дис. канд. физ.-мат. наук: 01.01.09 / В.И. Бенедиктович. – Минск, 2001. – 97 с.
5. Rivera-Campo, E. A sufficient condition for the existence of plane spanning trees on geometric graphs / E. Rivera-Campo, V. Urrutia-Galicia // Computational Geometry: Theory and Applications. – 2013. – № 1. – P. 1–6.
6. Rivera-Campo, E. Proceedings of the Japanese Conference on Discrete and Computational Geometry / E. Rivera-Campo // Conference on Discrete and Computational Geometry, Tokyo, Japan, December 1998. – 2000. – v. 1763. – P. 274–277.
7. Бенедиктович, В.И. Локальный признак существования плоского остовного дерева в геометрическом графе / В.И. Бенедиктович // Известия Национальной академии наук Беларуси. Серия Физико-математических наук. – 2014. – № 2. – С. 58–63.
8. Keller, C. Blockers for non-crossing spanning trees in complete geometric graphs . C. Keller, M.A. Perles, E. Rivera-Campo, V. Urrutia-Galicia // Thirty Essays on Geometric Graph Theory. – Springer, 2013. – P. 383–398.
9. Aichholzer, O. Edge-Removal and Non-Crossing Configurations in Geometric Graphs / O. Aichholzer, S. Cabello, R. Fabila-Monroy, D. Flores-Penaloza, T. Hackl, et al. // Discrete Mathematics and Theoretical Computer Science. – 2010. – №12 (1). – P. 75–86.
10. Alon, N. Long non-crossing configurations in the plane / N. Alon, S. Rajagopalan, S. Suri // Fundamenta Informaticae 22. – 1995. – P. 385–394.
11. Oxley, J.G. Matroid Theory / J.G. Oxley. – Oxford University Press, 2006. – 532 p.

Реализация разработанных алгоритмов

```
// Vertices with the same ID must be equal
@Immutable
public interface Vertex<V> {

    @NotNull @Immutable V getId();

    // (x, y)
    @NotNull @Immutable Coordinate getCoordinates();
}

// V - vertex ID type
// directed and undirected edges (v1, v2) and (v1, v2) must be equal
// undirected edges (v1, v2) and (v2, v1) must be equal
@Immutable
public interface Edge<V> {

    @NotNull ImmutablePair<Vertex<V>, Vertex<V>> asVerticesPair();

    default @NotNull @Immutable Segment asSegment() {
        final ImmutablePair<Vertex<V>, Vertex<V>> verticesPair =
asVerticesPair();
        return new Segment(verticesPair.left.getCoordinates(),
verticesPair.right.getCoordinates());
    }

    default @NotNull Stream<Vertex<V>> asStream() {
        final ImmutablePair<Vertex<V>, Vertex<V>> vertices = asVerticesPair();
        return Lists.newArrayList(vertices.left, vertices.right).stream();
    }
}

// V - vertex ID type
public interface Graph<V> extends Cloneable {

    @NotNull @Immutable Set<Vertex<V>> getVertices();

    int getVerticesNumber();

    @NotNull @Immutable Set<Edge<V>> getEdges();

    int getEdgesNumber();

    boolean addVertex(@NotNull V id, double x, double y);

    boolean addVertex(@NotNull Vertex<V> vertex);

    boolean removeVertex(@NotNull V id);
}
```

```

    boolean removeVertex(@NotNull Vertex<V> vertex);

    @NotNull Vertex<V> vertexOf(@NotNull V id, double x, double y);

    boolean addEdge(@NotNull V idFrom, double xFrom, double yFrom, @NotNull V
idTo, double xTo, double yTo)
        throws GraphException;

    boolean addEdge(@NotNull Vertex<V> from, @NotNull Vertex<V> to) throws
GraphException;

    boolean addEdge(@NotNull Edge<V> edge) throws GraphException;

    boolean removeEdge(@NotNull V from, @NotNull V to);

    boolean removeEdge(@NotNull Vertex<V> from, @NotNull Vertex<V> to);

    boolean removeEdge(@NotNull Edge<V> edge);

    boolean removeIntersecting(@NotNull Edge<V> edge);

    @NotNull Edge<V> edgeOf(@NotNull V idFrom, double xFrom, double yFrom,
@NotNull V idTo, double xTo, double yTo);

    @NotNull Edge<V> edgeOf(@NotNull Vertex<V> vertex1, @NotNull Vertex<V>
vertex2);

    boolean isDirected();

    @NotNull @Immutable Collection<Vertex<V>> getNeighbours(@NotNull V id);

    @NotNull @Immutable Collection<Vertex<V>> getNeighbours(@NotNull Vertex<V>
vertex);

    int getIntersectionIndex();

    @NotNull Optional<Edge<V>> getMostIntersectingEdge();

    boolean isIntersecting();

    boolean isConnected();

    @NotNull @Immutable List<Graph<V>> getConnectedComponents();

    @NotNull @Immutable List<Edge<V>> findBridges();

    @NotNull Graph<V> copy();
}

class SimpleVertex<V> implements Vertex<V> {

    @NotNull
    private final V id;
    @NotNull
    private final Coordinate coordinates;

    SimpleVertex(@NotNull V id, double x, double y) {

```



```

        this(id, new Coordinate(x, y));
    }

    SimpleVertex(@NotNull V id, @NotNull Coordinate coordinates) {
        this.id = id;
        this.coordinates = (Coordinate) coordinates.clone();
    }

    @Override
    public @NotNull @Immutable V getId() {
        return id;
    }

    @Override
    public @NotNull @Immutable Coordinate getCoordinates() {
        return (Coordinate) coordinates.clone();
    }

    @Override
    public boolean equals(Object o) {
        if (this == o) return true;
        if (o == null || getClass() != o.getClass()) return false;
        SimpleVertex<?> that = (SimpleVertex<?>) o;
        return Objects.equals(id, that.id);
    }

    @Override
    public int hashCode() {
        return Objects.hash(id);
    }
}

class SimpleUndirectedEdge<V> implements Edge<V> {

    @NotNull
    private final Vertex<V> vertex1;
    @NotNull
    private final Vertex<V> vertex2;

    SimpleUndirectedEdge(final @NotNull Vertex<V> vertex1, final @NotNull
Vertex<V> vertex2) {
        this.vertex1 = vertex1;
        this.vertex2 = vertex2;
    }

    @Override
    public @NotNull ImmutablePair<Vertex<V>, Vertex<V>> asVerticesPair() {
        return ImmutablePair.of(vertex1, vertex2);
    }

    @Override
    public boolean equals(Object o) {
        if (this == o) {
            return true;
        }

        if (o == null || getClass() != o.getClass()) {
            return false;
        }

```

```

    }

    @NotNull SimpleUndirectedEdge<?> anotherEdge = (SimpleUndirectedEdge<?>)
o;

    return Objects.equals(vertex1, anotherEdge.vertex1) &&
Objects.equals(vertex2, anotherEdge.vertex2) ||
        Objects.equals(vertex1, anotherEdge.vertex2) &&
Objects.equals(vertex2, anotherEdge.vertex1);
    }

    @Override
    public int hashCode() {
        return Objects.hash(vertex1, vertex2) * Objects.hash(vertex2, vertex1);
    }
}

public class UndirectedGraphWithIntersections<V> implements Graph<V> {

    private final @NotNull Set<Vertex<V>> vertices;
    private final @NotNull Set<Edge<V>> edges;
    private final @NotNull Multimap<Vertex<V>, Vertex<V>> adjacency;
    private final @NotNull Multimap<Edge<V>, Edge<V>> intersections;

    public static <V> @NotNull UndirectedGraphWithIntersections<V> of(final
@NotNull Collection<Edge<V>> edges) {
        final UndirectedGraphWithIntersections<V> graph = new
UndirectedGraphWithIntersections<>();
        edges.forEach(graph::addEdge);
        return graph;
    }

    public UndirectedGraphWithIntersections() {
        vertices = new HashSet<>();
        edges = new HashSet<>();
        adjacency = HashMultimap.create();
        intersections = HashMultimap.create();
    }

    private UndirectedGraphWithIntersections(
        final @NotNull Set<Vertex<V>> vertices,
        final @NotNull Set<Edge<V>> edges,
        final @NotNull Multimap<Vertex<V>, Vertex<V>> adjacency,
        final @NotNull Multimap<Edge<V>, Edge<V>> intersections) {

        this.vertices = new HashSet<>(vertices);
        this.edges = new HashSet<>(edges);
        this.adjacency = HashMultimap.create(adjacency);
        this.intersections = HashMultimap.create(intersections);
    }

    @Override
    public @NotNull @Immutable Set<Vertex<V>> getVertices() {
        return Collections.unmodifiableSet(vertices);
    }

    @Override
    public int getVerticesNumber() {

```

```

        return vertices.size();
    }

    @Override
    public @NotNull @Immutable Set<Edge<V>> getEdges() {
        return Collections.unmodifiableSet(edges);
    }

    @Override
    public int getEdgesNumber() {
        return edges.size();
    }

    @Override
    public boolean addVertex(final @NotNull V id, final double x, final double
y) {
        return addVertex(vertexOf(id, x, y));
    }

    @Override
    public boolean addVertex(final @NotNull Vertex<V> vertex) throws
GraphException {
        return vertices.add(vertex);
    }

    @Override
    public boolean removeVertex(final @NotNull V id) {
        return removeVertex(vertexOf(id));
    }

    @Override
    public boolean removeVertex(final @NotNull Vertex<V> vertex) {
        for (final Vertex<V> neighbour : adjacency.get(vertex)) {
            removeEdge(vertex, neighbour);
        }

        return vertices.remove(vertex);
    }

    private @NotNull Vertex<V> vertexOf(final @NotNull V id) {
        return vertexOf(id, 0, 0);
    }

    @Override
    public @NotNull Vertex<V> vertexOf(final @NotNull V id, final double x,
final double y) {
        return new SimpleVertex<>(id, x, y);
    }

    @Override
    public boolean addEdge(
        final @NotNull V idFrom,
        final double xFrom,
        final double yFrom,
        final @NotNull V idTo,
        final double xTo,
        final double yTo)
        throws GraphException {

        return addEdge(edgeOf(idFrom, xFrom, yFrom, idTo, xTo, yTo));
    }

```

```

    }

    @Override
    public boolean addEdge(final @NotNull Vertex<V> from, final @NotNull
Vertex<V> to) throws GraphException {
        return addEdge(edgeOf(from, to));
    }

    @Override
    public boolean addEdge(final @NotNull Edge<V> newEdge) throws GraphException
{
        if (!edges.contains(newEdge)) {
            final @NotNull ImmutablePair<Vertex<V>, Vertex<V>> vertices =
newEdge.asVerticesPair();

            if (Objects.equals(vertices.left, vertices.right)) {
                throw new GraphException("Loops are forbidden");
            }

            addVertex(vertices.left);
            addVertex(vertices.right);
            adjacency.put(vertices.left, vertices.right);
            adjacency.put(vertices.right, vertices.left);

            for (final Edge<V> edge : edges) {
                if (Geometry.isIntersecting(edge, newEdge)) {
                    intersections.put(edge, newEdge);
                    intersections.put(newEdge, edge);
                }
            }

            return edges.add(newEdge);
        } else {
            return false;
        }
    }

    @Override
    public boolean removeEdge(final @NotNull V from, final @NotNull V to) {
        return removeEdge(vertexOf(from), vertexOf(to));
    }

    @Override
    public boolean removeEdge(final @NotNull Vertex<V> from, final @NotNull
Vertex<V> to) {
        return removeEdge(edgeOf(from, to));
    }

    @Override
    public boolean removeEdge(final @NotNull Edge<V> edge) {
        final @NotNull ImmutablePair<Vertex<V>, Vertex<V>> vertices =
edge.asVerticesPair();
        adjacency.remove(vertices.left, vertices.right);
        adjacency.remove(vertices.right, vertices.left);

        for (final Edge<V> intersecting : intersections.get(edge)) {
            intersections.remove(intersecting, edge);
        }

        intersections.removeAll(edge);
    }

```

```

        return edges.remove(edge);
    }

    @Override
    public boolean removeIntersecting(final @NotNull Edge<V> edge) {
        final List<Edge<V>> intersectingEdges = new
ArrayList<>(intersections.get(edge));

        for (final Edge<V> intersectingEdge : intersectingEdges) {
            removeEdge(intersectingEdge);
        }

        return intersectingEdges.size() > 0;
    }

    @Override
    public @NotNull Edge<V> edgeOf(
        final @NotNull V idFrom,
        final double xFrom,
        final double yFrom,
        final @NotNull V idTo,
        final double xTo,
        final double yTo) {

        return edgeOf(vertexOf(idFrom, xFrom, yFrom), vertexOf(idTo, xTo, yTo));
    }

    @Override
    public @NotNull Edge<V> edgeOf(final @NotNull Vertex<V> vertex1, final
@NotNull Vertex<V> vertex2) {
        return new SimpleUndirectedEdge<>(vertex1, vertex2);
    }

    @Override
    public boolean isDirected() {
        return false;
    }

    @Override
    public @NotNull @Immutable Collection<Vertex<V>> getNeighbours(final
@NotNull V id) {
        return getNeighbours(vertexOf(id));
    }

    @Override
    public @NotNull @Immutable Collection<Vertex<V>> getNeighbours(final
@NotNull Vertex<V> vertex) {
        return Collections.unmodifiableCollection(adjacency.get(vertex));
    }

    @Override
    public @NotNull Optional<Edge<V>> getMostIntersectingEdge() {
        Edge<V> mostIntersecting = null;

        for (final Edge<V> edge : intersections.keySet()) {
            if (mostIntersecting == null ||
                intersections.get(mostIntersecting).size() <
intersections.get(edge).size()) {

                mostIntersecting = edge;
            }
        }
    }

```

```

        }
    }

    return Optional.ofNullable(mostIntersecting);
}

@Override
public int getIntersectionIndex() {
    return getMostIntersectingEdge()
        .map(intersections::get)
        .map(Collection::size)
        .orElse(0);
}

@Override
public boolean isIntersecting() {
    return getIntersectionIndex() > 0;
}

@Override
public boolean isConnected() {
    final Set<Vertex<V>> visited = new HashSet<>();
    final Queue<Vertex<V>> verticesToVisit = new ArrayDeque<>();

    if (!vertices.isEmpty()) {
        final Vertex<V> first = vertices.iterator().next();
        verticesToVisit.add(first);

        while (!verticesToVisit.isEmpty()) {
            final Vertex<V> current = verticesToVisit.remove();

            if (!visited.contains(current)) {
                visited.add(current);
                verticesToVisit.addAll(getNeighbours(current));
            }
        }

        return vertices.size() == visited.size();
    } else {
        return true;
    }
}

@Override
public @NotNull @Immutable List<Graph<V>> getConnectedComponents() {
    if (!vertices.isEmpty()) {
        final Set<Vertex<V>> visited = new HashSet<>();
        final List<Graph<V>> connectedComponents = new ArrayList<>();

        for (final Vertex<V> vertex : vertices) {
            if (!visited.contains(vertex)) {
                final Set<Vertex<V>> connectedComponentVertices = new
HashSet<>();

                final Queue<Vertex<V>> verticesToVisit = new ArrayDeque<>();
                verticesToVisit.add(vertex);

                while (!verticesToVisit.isEmpty()) {
                    final Vertex<V> current = verticesToVisit.remove();

                    if (!visited.contains(current)) {

```

```

        visited.add(current);
        connectedComponentVertices.add(current);
        verticesToVisit.addAll(getNeighbours(current));
    }
}

connectedComponents.add(subGraph(connectedComponentVertices));
    }
}

    return Collections.unmodifiableList(connectedComponents);
} else {
    return Collections.singletonList(new
UndirectedGraphWithIntersections<>());
}
}

private @NotNull UndirectedGraphWithIntersections<V> subGraph(final @NotNull
Set<Vertex<V>> vertices) {
    final UndirectedGraphWithIntersections<V> subGraph = new
UndirectedGraphWithIntersections<>();
    vertices.forEach(subGraph::addVertex);

    for (final Vertex<V> vertex : vertices) {
        for (final Vertex<V> neighbour : getNeighbours(vertex)) {
            if (vertices.contains(neighbour)) {
                subGraph.addEdge(edgeOf(vertex, neighbour));
            }
        }
    }

    return subGraph;
}

@Override
public @NotNull @Immutable List<Edge<V>> findBridges() {
    if (!vertices.isEmpty()) {
        final List<Edge<V>> bridges = new ArrayList<>();

        bridgeDfs(
            bridges,
            new MutableInt(0),
            vertices.iterator().next(),
            null,
            new HashSet<>(),
            new HashMap<>(),
            new HashMap<>());

        return Collections.unmodifiableList(bridges);
    } else {
        return Collections.emptyList();
    }
}

private void bridgeDfs(
    final @NotNull List<Edge<V>> bridges,
    final @NotNull MutableInt time,
    final @NotNull Vertex<V> visiting,
    final @Nullable Vertex<V> parent,

```

```

        final @NotNull Set<Vertex<V>> visited,
        final @NotNull Map<Vertex<V>, Integer> inTime,
        final @NotNull Map<Vertex<V>, Integer> upTime) {

    visited.add(visiting);
    time.increment();
    inTime.put(visiting, time.getValue());
    upTime.put(visiting, time.getValue());

    for (final Vertex<V> child : getNeighbours(visiting)) {
        if (!Objects.equals(child, parent)) {
            if (visited.contains(child)) {
                upTime.put(visiting, Math.min(upTime.get(visiting),
inTime.get(child)));
            } else {
                bridgeDfs(bridges, time, child, visiting, visited, inTime,
upTime);
                upTime.put(visiting, Math.min(upTime.get(visiting),
upTime.get(child)));

                if (upTime.get(child) > inTime.get(visiting)) {
                    bridges.add(edgeOf(visiting, child));
                }
            }
        }
    }
}

@Override
public @NotNull Graph<V> copy() {
    return new UndirectedGraphWithIntersections<>(vertices, edges,
adjacency, intersections);
}

@Override
public String toString() {
    return String.format(
        "n = %d%nm = %d%nintersection index = %d%nintersections number =
%d",
        getVerticesNumber(), getEdgesNumber(), getIntersectionIndex(),
intersections.size() / 2);
}

}

@Immutable
public interface Matroid<E> {

    @NotNull @Immutable Set<E> getElements();

    Optional<@NotEmpty Set<E>> findCircuit(@NotNull Set<E> subset) throws
MatroidException;
}

abstract class GraphMatroid<V> implements Matroid<Edge<V>> {

    @NotNull

```



```

@Immutable
protected final Graph<V> graph;

protected GraphMatroid(final @NotNull Graph<V> graph) {
    this.graph = graph.copy();
}

@Override
public @NotNull @Immutable Set<Edge<V>> getElements() {
    return graph.getEdges();
}

@Override
public final Optional<@NotEmpty Set<Edge<V>>> findCircuit(final @NotNull
Set<Edge<V>> subset)
    throws MatroidException {

    if (!getElements().containsAll(subset)) {
        throw new MatroidException("The given set isn't a subset of matroid
elements");
    }

    if (subset.isEmpty()) {
        return Optional.empty();
    } else {
        return findCircuitChecked(subset);
    }
}

protected abstract Optional<@NotEmpty Set<Edge<V>>>
findCircuitChecked(@NotNull @NotEmpty Set<Edge<V>> subset)
    throws MatroidException;
}

class CycleMatroid<V> extends GraphMatroid<V> {

    CycleMatroid(@NotNull Graph<V> graph) throws MatroidException {
        super(graph);

        if (graph.isDirected()) {
            throw new MatroidException("Directed graphs aren't supported");
        }
    }

    @Override
    protected Optional<@NotEmpty Set<Edge<V>>> findCircuitChecked(final @NotNull
@NotEmpty Set<Edge<V>> subset) {
        final ImmutableSet<Vertex<V>> vertices = subset.stream()
            .flatMap(Edge::asStream)
            .collect(ImmutableSet.toImmutableSet());

        return findCircuit(vertices, subset);
    }

    private Optional<@NotEmpty Set<Edge<V>>> findCircuit(
        final @NotNull Set<Vertex<V>> vertices,
        final @NotNull Set<Edge<V>> edges) {

```

```

final Map<Vertex<V>, Vertex<V>> ancestors = new HashMap<>();
Optional<Vertex<V>> repeated = Optional.empty();

for (final Vertex<V> vertex : vertices) {
    if (!ancestors.containsKey(vertex)) {
        ancestors.put(vertex, null);
        repeated = dfs(vertex, edges, ancestors);

        if (repeated.isPresent()) {
            break;
        }
    }
}

if (repeated.isPresent()) {
    final Set<Edge<V>> circuit = new HashSet<>();
    final Vertex<V> first = repeated.get();
    Vertex<V> current = first;

    do {
        assert ancestors.containsKey(current);
        final @NotNull Vertex<V> next = ancestors.get(current);
        circuit.add(graph.edgeOf(next, current));
        current = next;
    } while (!Objects.equals(current, first));

    return Optional.of(circuit);
} else {
    return Optional.empty();
}
}

// returns first repeated vertex
// ancestors must form a cycle if a repeated vertex is found
private Optional<Vertex<V>> dfs(
    final @NotNull Vertex<V> current,
    final @NotNull Set<Edge<V>> edges,
    final @NotNull @Mutable Map<Vertex<V>, Vertex<V>> ancestors) {

    assert ancestors.containsKey(current);

    for (final Vertex<V> neighbour : graph.getNeighbours(current)) {
        if (edges.contains(graph.edgeOf(current, neighbour))) {
            if (ancestors.containsKey(neighbour)) {
                if (!Objects.equals(neighbour, ancestors.get(current))) {
                    ancestors.put(neighbour, current);
                    return Optional.of(neighbour);
                }
            } else {
                ancestors.put(neighbour, current);
                final Optional<Vertex<V>> repeated = dfs(neighbour, edges,
ancestors);

                if (repeated.isPresent()) {
                    return repeated;
                }
            }
        }
    }
}
}

```

```

        return Optional.empty();
    }
}

class IntersectionMatroid<V> extends GraphMatroid<V> {

    // edges that aren't in the map don't intersect
    @NotNull
    @Immutable
    private final Map<Edge<V>, Integer> intersectionGroups;

    IntersectionMatroid(final @NotNull Graph<V> graph, final boolean validate)
    throws MatroidException {
        super(graph);
        intersectionGroups =
        Collections.unmodifiableMap(buildIntersectionGroups(validate));
    }

    private @NotNull Map<Edge<V>, Integer> buildIntersectionGroups(final boolean
    validate) throws MatroidException {
        final Map<Edge<V>, Integer> intersectionGroups = new HashMap<>();
        final List<Edge<V>> ordered = new ArrayList<>(graph.getEdges());
        int intersectionGroup = 0;

        for (int i = 0; i < ordered.size(); i++) {
            final Edge<V> edge1 = ordered.get(i);

            for (int j = 0; j < i; j++) {
                final Edge<V> edge2 = ordered.get(j);

                if (Geometry.isIntersecting(edge1, edge2)) {
                    final int currentIntersectionGroup;

                    if (!intersectionGroups.containsKey(edge2)) {
                        currentIntersectionGroup = intersectionGroup++;
                        intersectionGroups.put(edge2, currentIntersectionGroup);
                    } else {
                        currentIntersectionGroup =
intersectionGroups.get(edge2);
                    }

                    if (!intersectionGroups.containsKey(edge1)) {
                        intersectionGroups.put(edge1, currentIntersectionGroup);

                        if (!validate) {
                            break;
                        }
                    } else if (currentIntersectionGroup !=
intersectionGroups.get(edge1)) {
                        throw new MatroidException("Intersection matroid can't
be built for this graph");
                    }
                }
            }
        }

        return intersectionGroups;
    }
}

```

```

    @SuppressWarnings("unchecked")
    @Override
    protected Optional<@NotEmpty Set<Edge<V>>> findCircuitChecked(final @NotNull
@NotEmpty Set<Edge<V>> subset) {
        final Map<Integer, Edge<V>> intersectingVisited = new HashMap<>();

        for (final Edge<V> edge : subset) {
            if (intersectionGroups.containsKey(edge)) {
                final int intersectionGroup = intersectionGroups.get(edge);

                if (intersectingVisited.containsKey(intersectionGroup)) {
                    final Edge<V> intersecting =
intersectingVisited.get(intersectionGroup);
                    final Set<Edge<V>> circuit = Sets.newHashSet(intersecting,
edge);

                    return Optional.of(circuit);
                } else {
                    intersectingVisited.put(intersectionGroup, edge);
                }
            }
        }

        return Optional.empty();
    }
}

```

```

class MatroidWithFixedElements<E> implements Matroid<E> {

    @NotNull
    private final Matroid<E> matroid;
    @NotNull
    @Immutable
    private final Set<E> fixedElements;
    @NotNull
    @Immutable
    private final Set<E> notFixedElements;

    MatroidWithFixedElements(final @NotNull Matroid<E> matroid, final @NotNull
Set<E> fixedElements)
        throws MatroidException {

        if (!matroid.getElements().containsAll(fixedElements)) {
            throw new MatroidException("Matroid doesn't contain all fixed
elements");
        }

        if (matroid.findCircuit(fixedElements).isPresent()) {
            throw new MatroidException("Fixed elements aren't independent subset
of elements");
        }

        this.matroid = matroid;
        this.fixedElements = ImmutableSet.copyOf(fixedElements);
        this.notFixedElements =
CollectionUtils.immutableDifferenceOf(matroid.getElements(), fixedElements);
    }
}

```

```

    @Override
    public @NotNull @Immutable Set<E> getElements() {
        return notFixedElements;
    }

    @Override
    public Optional<@NotEmpty Set<E>> findCircuit(@NotNull Set<E> subset) throws
    MatroidException {
        final Set<E> subsetWithFixedElements = new HashSet<>(subset);
        subsetWithFixedElements.addAll(fixedElements);
        return matroid.findCircuit(subsetWithFixedElements);
    }
}

public class Matroids {

    public static <V> @NotNull Matroid<Edge<V>> cycleMatroidOf(final @NotNull
    Graph<V> graph) {
        return new CycleMatroid<>(graph);
    }

    public static <V> @NotNull Matroid<Edge<V>> intersectionMatroidOf(final
    @NotNull Graph<V> graph)
        throws MatroidException {

        return new IntersectionMatroid<>(graph, true);
    }

    public static <V> @NotNull Matroid<Edge<V>> cycleMatroidWithFixedEdgesOf(
        final @NotNull Graph<V> graph,
        final @NotNull Set<Edge<V>> fixedEdges) {

        return new MatroidWithFixedElements<>(cycleMatroidOf(graph),
        fixedEdges);
    }

    public static <V> @NotNull Matroid<Edge<V>>
    intersectionMatroidWithFixedEdgesOf(
        final @NotNull Graph<V> graph,
        final @NotNull Set<Edge<V>> fixedEdges) {

        return new MatroidWithFixedElements<>(intersectionMatroidOf(graph),
        fixedEdges);
    }
}

@Immutable
public interface MatroidIntersectionAlgorithm<E> {

    @NotNull Set<E> findIntersection(final @NotNull Matroid<E> matroid1, final
    @NotNull Matroid<E> matroid2)
        throws AlgorithmException;
}

```

```

public class BaseMatroidIntersectionAlgorithm<E> implements
MatroidIntersectionAlgorithm<E> {

    @SuppressWarnings("StatementWithEmptyBody")
    public @NotNull Set<E> findIntersection(final @NotNull Matroid<E> matroid1,
final @NotNull Matroid<E> matroid2)
        throws AlgorithmException {

        if (!SetUtils.isEqualSet(matroid1.getElements(),
matroid2.getElements())) {
            throw new AlgorithmException("Matroids have different elements");
        }

        final Set<E> intersection = new HashSet<>();

        try {
            while (expand(matroid1, matroid2, intersection));
        } catch (Exception e) {
            throw new AlgorithmException("Internal error", e);
        }

        return intersection;
    }

    private boolean expand(
        final @NotNull Matroid<E> matroid1,
        final @NotNull Matroid<E> matroid2,
        final @NotNull @Mutable Set<E> intersection) {

        assert SetUtils.isEqualSet(matroid1.getElements(),
matroid2.getElements());

        // parts and adjacency list of the utility bipartite graph
        final Queue<E> vertices1 = new ArrayDeque<>();
        final Set<E> vertices2 = new HashSet<>();
        final Multimap<E, E> adjacency = HashMultimap.create();

        // ancestors to restore the expanding path
        // null value is used to represent the start point of a path
        final Map<E, @Nullable E> ancestors = new HashMap<>();

        final @NotNull @Immutable Set<E> elements = matroid1.getElements();

        final @NotNull @Immutable Set<E> iteratingElements =
            CollectionUtils.immutableDifferenceOf(elements, intersection);

        for (final E candidate : iteratingElements) {
            intersection.add(candidate);

            final Optional<@NotEmpty Set<E>> circuit1 =
matroid1.findCircuit(intersection);
            final Optional<@NotEmpty Set<E>> circuit2 =
matroid2.findCircuit(intersection);
            final boolean independentInMatroid1 = !circuit1.isPresent();
            final boolean independentInMatroid2 = !circuit2.isPresent();

            if (independentInMatroid1 && independentInMatroid2) {
                return true;
            }
        }
    }
}

```

```

        if (independentInMatroid1) {
            vertices1.add(candidate);
            ancestors.put(candidate, null);
        } else {
            for (final E element : circuit1.get()) {
                if (!Objects.equals(element, candidate)) {
                    adjacency.put(element, candidate);
                }
            }
        }

        if (independentInMatroid2) {
            vertices2.add(candidate);
        } else {
            for (final E element : circuit2.get()) {
                if (!Objects.equals(element, candidate)) {
                    adjacency.put(candidate, element);
                }
            }
        }

        intersection.remove(candidate);
    }

    while (!vertices1.isEmpty()) {
        final E visiting = vertices1.remove();

        for (final E neighbour : adjacency.get(visiting)) {
            if (!ancestors.containsKey(neighbour)) {
                ancestors.put(neighbour, visiting);
                vertices1.add(neighbour);

                if (vertices2.contains(neighbour)) {
                    expand(intersection, neighbour, ancestors);
                    return true;
                }
            }
        }
    }

    return false;
}

private void expand(
    final @NotNull @Mutable Set<E> intersection,
    final @NotNull E lastVertex,
    final @NotNull Map<E, E> ancestors) {

    final int initialIntersectionSize = intersection.size();
    final List<E> path = new ArrayList<>();
    E current = lastVertex;

    while (current != null) {
        path.add(current);
        current = ancestors.get(current);
    }

    assert (path.size() & 1) == 1;

    for (int i = path.size() - 1; i >= 0; --i) {

```

```

        final E processing = path.get(i);

        if ((i & 1) == 0) {
            final boolean added = intersection.add(processing);
            assert added;
        } else {
            final boolean removed = intersection.remove(processing);
            assert removed;
        }
    }

    assert intersection.size() > initialIntersectionSize;
}

}

public class BaseSearchTreeAlgorithm {

    private static boolean TRACE = false;

    @SuppressWarnings("OptionalAssignedToNull")
    protected static <V> @NotNull Optional<Graph<V>> find(
        final @NotNull TaskSupplier<V> task)
        throws AlgorithmException {

        final AtomicInteger nodesCreated = new AtomicInteger(0);
        final AtomicInteger nodesProcessed = new AtomicInteger(0);
        final ForkJoinPool pool = new ForkJoinPool();
        Optional<Graph<V>> ncst = null;

        try {
            final ForkJoinTask<Optional<Graph<V>>> executionTask =
                pool.submit(task.supply(nodesCreated, nodesProcessed));

            do {
                try {
                    ncst = executionTask.get(1, TimeUnit.SECONDS);
                } catch (final TimeoutException e) {
                    logProcessing(nodesCreated, nodesProcessed);
                } catch (final Exception e) {
                    throw new AlgorithmException(e);
                }
            } while (ncst == null);

            logProcessing(nodesCreated, nodesProcessed);
        } finally {
            pool.shutdown();
        }

        return ncst;
    }

    private static void logProcessing(
        final @NotNull AtomicInteger nodesCreated,
        final @NotNull AtomicInteger nodesProcessed) {

        final int processed = nodesProcessed.get();
        final int created = nodesCreated.get();

```



```

        System.out.println(String.format(
            "%d created / %d processed / %d left", created, processed,
            created - processed));
    }

    protected static void logNode(
        final @NotNull String message, final boolean isFinal, final int
        depth, final @NotNull String index) {

        final String color = isFinal ? "\u001B[33m" : "\u001B[34m";
        final String reset = "\u001B[0m";

        if (TRACE) {
            System.out.println(String.format("%s%d:%s / %s%s", color, depth,
            index, message, reset));
        }
    }

    public static void enableTracing() {
        TRACE = true;
    }

    public static void disableTracing() {
        TRACE = false;
    }

    @FunctionalInterface
    protected interface TaskSupplier<V> {

        @NotNull RecursiveTask<Optional<Graph<V>>> supply(
            @NotNull AtomicInteger nodesCreated,
            @NotNull AtomicInteger nodesProcessed);
    }

    protected static abstract class BaseSearchTreeNode<V> extends
    RecursiveTask<Optional<Graph<V>>> {

        protected final @NotNull AtomicInteger nodesCreated;
        protected final @NotNull AtomicInteger nodesProcessed;
        protected final int depth;
        protected final @NotNull String index;
        protected final @NotNull Graph<V> graph;

        protected BaseSearchTreeNode(
            final @NotNull AtomicInteger nodesCreated,
            final @NotNull AtomicInteger nodesProcessed,
            final int depth,
            final @NotNull String index,
            final @NotNull Graph<V> graph) {

            this.nodesCreated = nodesCreated;
            this.nodesProcessed = nodesProcessed;
            this.depth = depth;
            this.index = index;
            this.graph = graph;

            nodesCreated.incrementAndGet();
        }

        @Override

```

```

        protected @NotNull Optional<Graph<V>> compute() {
            final Optional<Graph<V>> result = _compute();
            nodesProcessed.incrementAndGet();
            return result;
        }

        protected abstract @NotNull Optional<Graph<V>> _compute();
    }
}

class IndependentSet<V> {

    private final @NotNull Map<Vertex<V>, Vertex<V>> verticesGroups;
    private final @NotNull Set<Edge<V>> edges;

    public IndependentSet() {
        verticesGroups = new HashMap<>();
        edges = new HashSet<>();
    }

    private IndependentSet(final @NotNull Map<Vertex<V>, Vertex<V>>
verticesGroups, final @NotNull Set<Edge<V>> edges) {
        this.verticesGroups = verticesGroups;
        this.edges = edges;
    }

    public @NotNull Graph<V> toGraph() {
        return UndirectedGraphWithIntersections.of(edges);
    }

    public @NotNull @Immutable Set<Edge<V>> getEdges() {
        return ImmutableSet.copyOf(edges);
    }

    @Fluent
    public IndependentSet<V> addAll(final @NotNull Collection<Edge<V>> edges) {
        for (final Edge<V> edge : edges) {
            if (canBeAdded(edge)) {
                add(edge);
            }
        }

        return this;
    }

    @Fluent
    public IndependentSet<V> add(final @NotNull Edge<V> edge) throws
AlgorithmException {
        if (canBeAdded(edge)) {
            edges.add(edge);
            final ImmutablePair<Vertex<V>, Vertex<V>> vertices =
edge.asVerticesPair();
            verticesGroups.put(getGroup(vertices.left),
getGroup(vertices.right));
            return this;
        } else {
            throw new AlgorithmException("Edge connects vertices from the same
group");
        }
    }
}

```

```

    }
}

public boolean canBeAdded(final @NotNull Edge<V> edge) {
    final ImmutablePair<Vertex<V>, Vertex<V>> vertices =
edge.asVerticesPair();
    return !Objects.equals(getGroup(vertices.left),
getGroup(vertices.right));
}

private @NotNull Vertex<V> getGroup(final @NotNull Vertex<V> vertex) {
    if (verticesGroups.containsKey(vertex)) {
        final Vertex<V> parent = verticesGroups.get(vertex);

        if (Objects.equals(vertex, parent)) {
            return vertex;
        } else {
            final Vertex<V> group = getGroup(parent);
            verticesGroups.put(vertex, group);
            return group;
        }
    } else {
        verticesGroups.put(vertex, vertex);
        return vertex;
    }
}

public @NotNull IndependentSet<V> copy() {
    return new IndependentSet<>(new HashMap<>(verticesGroups), new
HashSet<>(edges));
}

public @NotNull IndependentSet<V> filter(final @NotNull
Collection<Vertex<V>> vertices) {
    final IndependentSet<V> filtered = new IndependentSet<>();

    edges.stream()
        .filter(edge ->
vertices.containsAll(edge.asStream().collect(Collectors.toList())))
        .forEach(filtered::add);

    return filtered;
}

}

@Immutable
public interface NcstAlgorithm<V> {

    Optional<Graph<V>> findNcst(final @NotNull Graph<V> graph) throws
AlgorithmException;
}

public final class NcstAlgorithmImpl<V> extends BaseSearchTreeAlgorithm
implements NcstAlgorithm<V> {

    @Override

```

```

    public @NotNull Optional<Graph<V>> findNcst(final @NotNull Graph<V> graph)
    throws AlgorithmException {
        return find((nodesCreated, nodesProcessed) ->
            new SearchTreeNode(nodesCreated, nodesProcessed, graph, new
IndependentSet<>()));
    }

    private final class SearchTreeNode extends BaseSearchTreeNode<V> {

        private final @NotNull IndependentSet<V> fixed;

        private SearchTreeNode(
            final @NotNull AtomicInteger nodesCreated,
            final @NotNull AtomicInteger nodesProcessed,
            final @NotNull Graph<V> graph,
            final @NotNull IndependentSet<V> fixed) {

            this(nodesCreated, nodesProcessed, 0, "f", graph, fixed);
        }

        private SearchTreeNode(
            final @NotNull AtomicInteger nodesCreated,
            final @NotNull AtomicInteger nodesProcessed,
            final int depth,
            final @NotNull String index,
            final @NotNull Graph<V> graph,
            final @NotNull IndependentSet<V> fixed) {

            super(nodesCreated, nodesProcessed, depth, index, graph);
            this.fixed = fixed;
        }

        @Override
        @SuppressWarnings({ "OptionalGetWithoutIsPresent", "Duplicates" })
        protected @NotNull Optional<Graph<V>> _compute() {
            if (graph.getVerticesNumber() <= 1) {
                logNode(String.format("vertices number = %d",
graph.getVerticesNumber()), true, depth, index);
                return Optional.of(graph.copy());
            } else if (!graph.isConnected()) {
                logNode("not connected", true, depth, index);
                return Optional.empty();
            } else if (!graph.isIntersecting()) {
                logNode("non-crossing", true, depth, index);
                fixed.addAll(graph.getEdges());
                return Optional.of(fixed.toGraph());
            } else if (graph.getIntersectionIndex() == 1) {
                logNode("intersection index 1", true, depth, index);
                final Matroid<Edge<V>> cycleMatroid =
Matroids.cycleMatroidWithFixedEdgesOf(graph, fixed.getEdges());

                final Matroid<Edge<V>> intersectionMatroid =
Matroids.intersectionMatroidWithFixedEdgesOf(graph,
fixed.getEdges());

                final MatroidIntersectionAlgorithm<Edge<V>>
matroidIntersectionAlgorithm =
                    new BaseMatroidIntersectionAlgorithm<>();

                final Set<Edge<V>> nonCrossingEdges =

```

```

matroidIntersectionAlgorithm.findIntersection(cycleMatroid,
intersectionMatroid);

        if (nonCrossingEdges.size() == graph.getVerticesNumber() - 1) {
            return
Optional.of(UndirectedGraphWithIntersections.of(nonCrossingEdges));
        } else {
            return Optional.empty();
        }
    } else {
        final List<Edge<V>> bridges = graph.findBridges();

        if (!bridges.isEmpty()) {
            final Graph<V> graphCopy = graph.copy();
            int removedBridges = 0;

            for (final Edge<V> bridge : bridges) {
                graphCopy.removeIntersecting(bridge);
                removedBridges += graphCopy.removeEdge(bridge) ? 1 : 0;
            }

            if (removedBridges < bridges.size()) {
                logNode("splitting by bridges is impossible: bridges
intersect each other", true, depth, index);
                return Optional.empty();
            }

            final List<Graph<V>> connectedComponents =
graphCopy.getConnectedComponents();

            if (connectedComponents.size() == bridges.size() + 1) {
                logNode("splitting by bridges", false, depth, index);

                final List<SearchTreeNode> tasks =
IntStream.rangeClosed(0, bridges.size())
                    .mapToObj(i -> new SearchTreeNode(
                        nodesCreated, nodesProcessed,
                        depth + 1, index + "b" + (i + 1),
                        connectedComponents.get(i),

fixed.filter(connectedComponents.get(i).getVertices()))))
                    .collect(ImmutableList.toImmutableList());

                final List<Graph<V>> subTrees =
invokeAll(tasks).stream()
                    .map(SearchTreeNode::join)
                    .filter(Optional::isPresent)
                    .map(Optional::get)
                    .collect(Collectors.toList());

                if (subTrees.size() == bridges.size() + 1) {
                    final Graph<V> tree =
UndirectedGraphWithIntersections.of(bridges);

                    for (final Graph<V> subTree : subTrees) {
                        subTree.getEdges()
                            .forEach(tree::addEdge);
                    }
                }
            }
        }
    }
}

```

```

        return Optional.of(tree);
    } else {
        return Optional.empty();
    }
} else if (connectedComponents.size() > bridges.size() + 1)
{
    logNode(
        "splitting by bridges is impossible: too many
connected components",
        true, depth, index);

    return Optional.empty();
} else {
    // should never happen
    throw new RuntimeException();
}
} else {
    final List<SearchTreeNode> tasks = new ArrayList<>();
    final Edge<V> mostIntersecting =
graph.getMostIntersectingEdge().get();

    Graph<V> graphCopy = graph.copy();
    graphCopy.removeEdge(mostIntersecting);
    IndependentSet<V> fixedCopy = fixed.copy();

    tasks.add(new SearchTreeNode(
        nodesCreated, nodesProcessed, depth + 1, index +
    "e", graphCopy, fixedCopy));

    if (fixed.canBeAdded(mostIntersecting)) {
        logNode("splitting by most intersecting edge, most
intersecting edge is included",
            false, depth, index);

        graphCopy = graph.copy();
        graphCopy.removeIntersecting(mostIntersecting);
        fixedCopy = fixed.copy();
        fixedCopy.add(mostIntersecting);

        tasks.add(new SearchTreeNode(
            nodesCreated, nodesProcessed, depth + 1, index +
    "i", graphCopy, fixedCopy));
    } else {
        logNode("splitting by most intersecting edge, most
intersecting edge isn't included",
            false, depth, index);
    }

    return invokeAll(tasks).stream()
        .map(SearchTreeNode::join)
        .filter(Optional::isPresent)
        .findAny()
        .orElse(Optional.empty());
}
}
}
}
}
}

```

```

@Immutable
public interface BncfAlgorithm<V> {

    @NotNull Graph<V> findBncf(final @NotNull Graph<V> graph) throws
    AlgorithmException;
}

public final class BncfAlgorithmImpl<V> extends BaseSearchTreeAlgorithm
implements BncfAlgorithm<V> {

    @Override
    @SuppressWarnings("OptionalGetWithoutIsPresent")
    public @NotNull Graph<V> findBncf(final @NotNull Graph<V> graph) throws
    AlgorithmException {
        final Graph<V> bncf = find((nodesCreated, nodesProcessed) ->
            new SearchTreeNode(nodesCreated, nodesProcessed, graph, new
            IndependentSet<>()))
            .get();

        graph.getVertices().forEach(bncf::addVertex);
        return bncf;
    }

    private final class SearchTreeNode extends BaseSearchTreeNode<V> {

        private final @NotNull IndependentSet<V> fixed;

        private SearchTreeNode(
            final @NotNull AtomicInteger nodesCreated,
            final @NotNull AtomicInteger nodesProcessed,
            final @NotNull Graph<V> graph,
            final @NotNull IndependentSet<V> fixed) {

            this(nodesCreated, nodesProcessed, 0, "f", graph, fixed);
        }

        private SearchTreeNode(
            final @NotNull AtomicInteger nodesCreated,
            final @NotNull AtomicInteger nodesProcessed,
            final int depth,
            final @NotNull String index,
            final @NotNull Graph<V> graph,
            final @NotNull IndependentSet<V> fixed) {

            super(nodesCreated, nodesProcessed, depth, index, graph);
            this.fixed = fixed;
        }

        @Override
        @SuppressWarnings({ "OptionalGetWithoutIsPresent", "Duplicates" })
        protected @NotNull Optional<Graph<V>> _compute() {
            if (graph.getVerticesNumber() <= 1) {
                logNode(String.format("vertices number = %d",
                graph.getVerticesNumber()), true, depth, index);
                return Optional.of(graph.copy());
            } else if (!graph.isIntersecting()) {
                logNode("non-crossing", true, depth, index);
            }
        }
    }
}

```

```

        fixed.addAll(graph.getEdges());
        return Optional.of(fixed.toGraph());
    } else if (graph.getIntersectionIndex() == 1) {
        logNode("intersection index 1", true, depth, index);
        final Matroid<Edge<V>> cycleMatroid =
Matroids.cycleMatroidWithFixedEdgesOf(graph, fixed.getEdges());

        final Matroid<Edge<V>> intersectionMatroid =
            Matroids.intersectionMatroidWithFixedEdgesOf(graph,
fixed.getEdges());

        final MatroidIntersectionAlgorithm<Edge<V>>
matroidIntersectionAlgorithm =
            new BaseMatroidIntersectionAlgorithm<>();

        final Set<Edge<V>> nonCrossingEdges =

matroidIntersectionAlgorithm.findIntersection(cycleMatroid,
intersectionMatroid);

        return
Optional.of(UndirectedGraphWithIntersections.of(nonCrossingEdges));
    } else {
        final List<SearchTreeNode> tasks = new ArrayList<>();
        final Edge<V> mostIntersecting =
graph.getMostIntersectingEdge().get();

        Graph<V> graphCopy = graph.copy();
        graphCopy.removeEdge(mostIntersecting);
        IndependentSet<V> fixedCopy = fixed.copy();

        tasks.add(new SearchTreeNode(
            nodesCreated, nodesProcessed, depth + 1, index + "e",
graphCopy, fixedCopy));

        if (fixed.canBeAdded(mostIntersecting)) {
            logNode("splitting by most intersecting edge, most
intersecting edge is included",
                false, depth, index);

            graphCopy = graph.copy();
            graphCopy.removeIntersecting(mostIntersecting);
            fixedCopy = fixed.copy();
            fixedCopy.add(mostIntersecting);

            tasks.add(new SearchTreeNode(
                nodesCreated, nodesProcessed, depth + 1, index +
"i", graphCopy, fixedCopy));
        } else {
            logNode("splitting by most intersecting edge, most
intersecting edge isn't included",
                false, depth, index);
        }

        final List<Graph<V>> subgraphs = invokeAll(tasks).stream()
            .map(SearchTreeNode::join)
            .filter(Optional::isPresent)
            .map(Optional::get)
            .collect(Collectors.toList());
    }

```



```

        final int maxSubgraphSize = subgraphs.stream()
            .mapToInt(Graph::getEdgesNumber)
            .max()
            .getAsInt();

        return subgraphs.stream()
            .filter(subgraph -> subgraph.getEdgesNumber() ==
maxSubgraphSize)
            .findAny();
    }
}

```